

**TECHNICKÁ UNIVERZITA V LIBERCI**

**FAKULTA STROJNÍ**

KATEDRA MATERIÁLU



**Diplomová práce**

**Magnetická strukturoskopie  
netryskaných výkovků a odlitků**

**Magnetic structuroscopy of non shot  
blating forged pieces and casts**

2008

Michal Flanderka



TECHNICKÁ UNIVERZITA V LIBERCI  
FAKULTA STROJNÍ  
KATEDRA MATERIÁLU



**Obor :** Strojírenská technologie

**Zaměření:** Materiálové inženýrství

## **MAGNETICKÁ STRUKTUROSKOPIE NETRYSKANÝCH VÝKOVKŮ A ODLITKŮ**

## **MAGNETIC STRUSCUROSCOPY OF NON SHOT BLATING FORGED PIECES AND CASTS**

Michal Flanderka  
KMT – 235

Vedoucí a konzultant bakalářské práce: doc. Ing. Břetislav Skrbek, CSc.

### **Rozsah práce a příloh:**

Počet stran : 62  
Počet obrázků : 22  
Počet tabulek : 17  
Počet grafů : 10  
Počet příloh : 7

V Liberci dne 23. května 2008



Studentská 2, 461 17 Liberec

## ANOTACE

<b>JMÉNO:</b>	Michal Flanderka
<b>OBOR:</b>	Strojírenská technologie
<b>ZAMĚŘENÍ:</b>	Materiálové inženýrství
<b>TÉMA PRÁCE:</b>	Magnetická strukturoskopie netryskaných výkovků a odlitků
<b>ČÍSLO PRÁCE:</b>	KMT – DP - 235
<b>VEDOUCÍ PROJEKTU:</b>	doc.Ing. Břetislav Skrbek,CSc.
<b>KONZULTANT:</b>	doc.Ing. Břetislav Skrbek,CSc.

Tato diplomová práce se zabývá změnou intenzity zbytkového magnetického pole tepelně zpracovaných ocelí a litin a stanovením vzorců pro nedestruktivní zkoušení vybraných dílů.

**Klíčová slova:**  
magnetická strukturoskopie,  
výkovek,  
odlitek,  
oxidy,  
DOMENA.



TECHNICAL UNIVERSITY  
FAKULTY OF MECHANICAL  
ENGINEERING  
DEPARTMENT OF MATERIAL SCIENCE



**Studentská 2, 461 17 Liberec**

**ANNOTATION**

<b>NAME:</b>	Michal Flanderka
<b>SPECIALIZATION:</b>	Engineering technology
<b>FOCUSING:</b>	Material engineering
<b>SUBJECT OF WORK:</b>	Magnetic structuroscopy of non shot blating forged pieces and casts
<b>NUMBER OF WORK:</b>	KMT – 235
<b>LEADER OF WORK:</b>	doc.Ing. Břetislav Skrbek,CSc.
<b>CONSULTER:</b>	doc.Ing. Břetislav Skrbek,CSc.

This graduation theses is survey of change intensity residue magnetic field of thermal works steels and cast irons a determination formula for nondestruct testing choosen parts.

**Keywords:**

Magnetic structuroscopy,  
forged piece,  
cast,  
oxides,  
DOMENA.

# Prohlášení:

Byl jsem seznámen s tím, že na mou diplomovou práci se plně vztahuje zákon č. 121/2000 Sb. o právu autorském, zejména § 60 – školní dílo.

Beru na vědomí, že Technická univerzita v Liberci (TUL) nezasahuje do mých autorských práv užitím mé diplomové práce pro vnitřní potřebu TUL.

Užiji-li diplomovou práci nebo poskytnu-li licenci k jejímu využití, jsem si vědom povinnosti informovat o této skutečnosti TUL; v tomto případě má TUL právo ode mne požadovat úhradu nákladů, které vynaložila na vytvoření díla, až do jejich skutečné výše.

Diplomovou práci jsem vypracoval(a) samostatně s použitím uvedené literatury a na základě konzultací s vedoucím diplomové práce a konzultantem.

Datum:

Podpis:

## **Poděkování**

Děkuji především panu doc.Ing. Břetislavu Skrbkovi, CSc. za konzultace a rady při tvorbě mé diplomové práce a firmě TEDOM s.r.o., a jejím zaměstnancům, kde jsem prováděl nezbytná měření. Dále bych chtěl poděkovat všem kteří přispěly byť drobnou radou či jinou podporou.

# OBSAH

Použité zkratky a symboly .....	9
1. Úvod.....	10
2. Základní magnetické veličiny:.....	11
3. Magnetická strukturoskopie:.....	15
3.1 Prostředky impulsní magnetické kontroly:.....	17
3.2 Frekvenční zkoušení .....	18
3.3 Metoda magnetického bodového pólu .....	20
3.3 Účinek koroze .....	22
3.3.1 Koroze atmosférou při tepelném zpracování .....	22
4 Teoretické základy oxidace ocelí.....	23
4.1 Vliv jednotlivých činitelů na propal kovu .....	24
5 Statistika.....	27
5.1 Regresní analýza .....	27
5.1.1 Rovnice pro výpočet spojnic trendu .....	27
5.2 Korelace .....	28
Praktická část .....	30
6 Trubkové vzorky .....	30
6.1 Měření:.....	31
6.2 Změna IZMP (M) s dobou výdrže .....	32
6.3 Změna IZMP (M) s tloušťkou oxidické vrstvy.....	35
7 Válcové vzorky .....	40
Tab. 8 .....	40
7.1 Porovnání oxidického a broušeného povrchu: .....	41
7.2 Stanovní vzorce pro nedestruktivní zkoušení: .....	41
8 Hřídele .....	42
8.1 Vzorky .....	42
8.2 Měření .....	44
8.3 Porovnání povrchů .....	45

8.4 Určení vzorce pro nedestruktivní zkoušení.....	47
9 Ojnice.....	50
9.1 Vzorky .....	50
9.2 Měření.....	51
9.3 Určení vzorce pro nedestruktivní zkoušení.....	52
10 Brzdové držáky z GJS.....	53
10.1 Vzorky .....	53
10.2 Měření:.....	53
10.3 Porovnání povrchů:.....	54
11 Diskuze výsledků.....	56
12 Závěr .....	59
Použitá literatura:.....	60
Seznam příloh: .....	61

## Použité zkratky a symboly

B .....	magnetická indukce [T]
$\emptyset$ .....	magnetický indukční tok [Wb]
Rm .....	magnetický odpor [ $H^{-1}$ ]
H .....	intenzita magnetického pole [ $Am^{-1}$ ]
$\mu$ .....	poměrná permeabilita prostředí [ $Hm^{-1}$ ]
$\mu_0$ .....	permeabilita vakua [ $Hm^{-1}$ ]
M .....	magnetizace [ $Am^{-1}$ ]
MX .....	x-tý stupeň magnetizace
$\delta M$ .....	relativní hodnota intenzity zbytkového magnetického pole [-]
J.....	polarizace [T]
K .....	magnetická susceptibilita [ - ]
$m_d$ .....	magnetický dipólový moment [Wb.m]
t .....	čas [min]
T .....	teplota [°C]
L .....	tloušťka oxidické vrstvy [ $\mu m$ ]
HB .....	tvrdost dle Brinella
IZMP .....	intenzita zbytkového magnetického pole
TZ .....	teplené zpracování

## **1. Úvod**

Současná tvrdá konkurence ve výrobě a zpracování polotovarů (výkovky, odlitky, plechy) vedená přísnými požadavky převážně zahraničních zákazníků (úzké tolerance mechanických vlastností a nezřídka požadavky 100% kontroly) vyžadují aplikace spolehlivých a vysoce produktivních metod nedestruktivní strukturoskopie. Pro řízení jakosti materiálu má informační hodnotu regresní vyjádření výsledků kontroly (přiřazení konkrétních hodnot kontrolované vlastnosti) a nikoliv shlukové (četnost dobrých – špatných měření).

Právě do oblasti strukturoskopie patří i metoda magnetického bodového pólu, díky níž lze například rychle zjistit tvrdost, pevnost nebo hloubku prokalení feromagnetických materiálů a to na základě měření intenzity zbytkového magnetického pole.

Tato diplomová práce se zabývá tím, jaký vliv mají na výsledky magnetické strukturoskopie oxidy vzniklé na povrchu tepelně zpracovaných ocelových a litinových vzorcích a porovnáním vzorců pro nedestruktivní stanovení hodnot HB při měření přes oxidické vrstvy a při měření po jejich odstranění (tryskání, zbroušení).

## 2. Základní magnetické veličiny:

*Magnetická indukce B [T] (tesla):*

Je to vektorová veličina, charakterizující magnetické pole. Jednotka magnetické indukce je tesla. Číselně se tato jednotka rovná síle  $F = 1\text{N}$ , která působí na jednotku délky přímého vodiče protékaného proudem  $I = 1\text{A}$  a orientovaného kolmo ke směru  $B$ . Magnetická indukce také udává hustotu magnetického toku na jednotku kolmé plochy  $S = 1\text{m}^2$ . Platí:

$$B = \frac{\Phi}{S} \quad (1)$$

kde  $\Phi$  ... skalární veličina udávající magnetický indukční tok. [Wb]

*Magnetický indukční tok  $\Phi$  [Wb] (weber)*

Je to skalární veličina definovaná napětím indukovaným v závitu při časové změně toku dle vztahu:

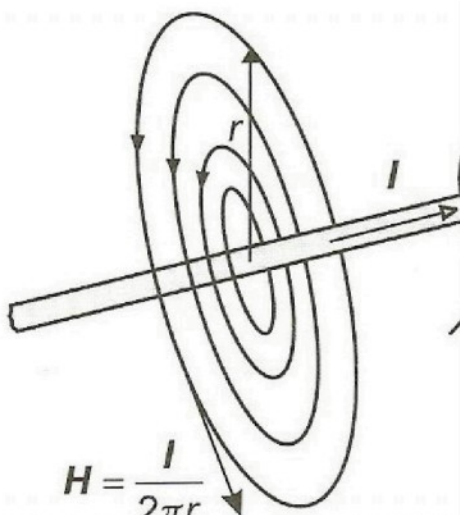
$$u = \frac{d\phi}{dt} \quad (2)$$

*Magnetický odpor (reluktance)  $R_m$  [ $\text{H}^{-1}$ ]*

Je to odpor, který objekt klade magnetickému toku podobně jako elektrický odpor elektrickému proudu ( $1\text{H} = 1$  henry = jednotka indukčnosti).

*Intenzita magnetického pole  $H$  [ $\text{Am}^{-1}$ ]*

Je to vektorová veličina. Intenzita pole ve vzdálenosti  $r$  od vodiče protékaného proudem  $I$  je dána vztahem dle obr. 1. Obecně se pro výpočet



obr. 1

intenzity magnetického pole používá Biot-Savartův zákon. Permeabilita prostředí. Mezi intenzitou pole H a indukcí B platí:

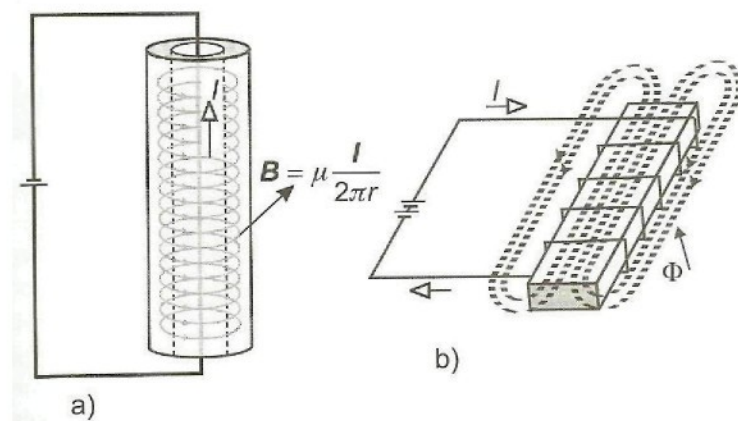
$$H = \frac{B}{\mu \cdot \mu_0}, \quad (3)$$

kde  $\mu$  ... poměrná (relativní) permeabilita prostředí,

$\mu_0 = 4\pi \cdot 10^{-7} \text{ Hm}^{-1}$  ... permeabilita vakua.

Poměrná permeabilita prostředí (v dalším textu označována jen jako permeabilita) je bezrozměrné číslo udávající magnetické vlastnosti látek. Látky u nichž je  $\mu > 1$  se označují jako paramagnetické, látky u nichž  $\mu < 1$  jsou diamagnetické a látky feromagnetické mají  $\mu >> 1$ . Pro vakuum a prakticky i pro vzduch je  $\mu = 1$ .

Indukce (indukční čáry) ve feromagnetické trubce způsobená proudem I protékajícím vodičem umístěným uvnitř trubky je znázorněna na obr. 2a, indukční čáry ve feromagnetickém materiálu umístěné v cívce jsou na obr. 2b.



obr. 2

### *Magnetizace M (Am<sup>-1</sup>)*

Představuje vektor, který představuje na základě teorie dipólů fyzikálně intenzitu pole uvnitř tělesa vyvolanou jeho magnetickými vlastnostmi a je definován vztahem:

$$M = \frac{B}{\mu_0} - H \quad (4)$$

### *Polarizace J [T]:*

Jedná se o vektor, který podobně jako magnetizace vyjadřuje změnu pole vyvolanou magnetickými vlastnostmi látek. Umístíme-li feromagnetický objekt do oblasti extrémního magnetického pole o indukci  $B_e = \mu_0 H$ , způsobí toto pole v objektu magnetizaci  $M$  a indukci  $B_m$ . Výsledné pole musí mít indukci:

$$B = B_e + B_m = B_e + J \quad (5)$$

neboli magnetická indukce  $B_m$  vzniká v důsledku polarizace  $J$  feromagnetického materiálu. Polarizace v tělese je způsobena orientací elementárních magnetů (domén), vytvořených pohybem elektrických nábojů uvnitř molekuly. Platí:

$$J = B - \mu_0 H = \mu_0 M = (\mu - 1) \mu_0 H \quad (6)$$

### *Magnetická susceptibilita κ:*

Je bezrozměrný koeficient úměrnosti mezi magnetickou polarizací  $J$  a indukcí  $B_e$  neboli:

$$J = \kappa \cdot B_e \quad (7)$$

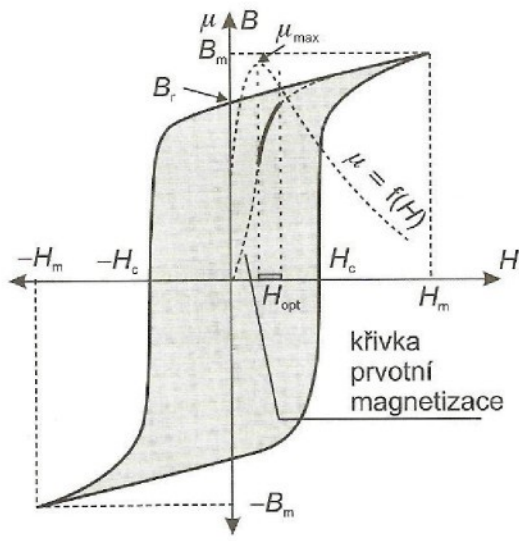
Nachází-li se zmagnetované těleso v magnetickém poli nehomogenním v ose x, působí na něj síla:

$$F_x = m_d \frac{dH}{dx} \quad (8)$$

kde  $m_d$  ... magnetický dipólový moment. [Wb.m]

*Parametry definované při stejnosměrném magnetování:*

Stejnosměrná magnetizace objektu závisí nejen na externím magnetickém poli, ale také na historii z předcházejícího zmagnetování. Tento jev je způsoben hysterezí (obr. 3). Magnetické domény se uspořádají dle indukčních čar a po odstranění externího pole zůstanou směrově orientované.



obr. 3

Na obrázku 3 je zobrazena statická hysterezní křivka vyjadřující závislost  $B = f(H)$  při pomalých změnách intenzity pole od  $+H_m$  do  $-H_m$ . Pro hodnoty  $H > H_m$  jsou křivky totožné. Na hysterezí křivce jsou definovány parametry: koercivita  $H_c$  a remanence  $B_r$ . Křivka prvotní magnetizace odpovídá závislosti  $B = f(H)$  za předpokladu, že se intenzita pole zvyšuje ze stavu dokonalého odmagnetování. [2]

### **3. Magnetická strukturoskopie:**

Magnetické metody umožňují vysokou produktivitu s vysokou citlivostí ke kontrolovanému parametru. Magnetický impulzivní způsob kontroly mechanických vlastností plochých výrobků se ve výrobě hutních závodů kromě Ruska, Ukrajiny a Běloruska také uplatňuje u firmy EKO ocel (Německo) a VSŽ Košice. Zařízení (ozn. IMPOK, IMA) vyvinul Institut fyzika Národní akademie věd Běloruska. [1]

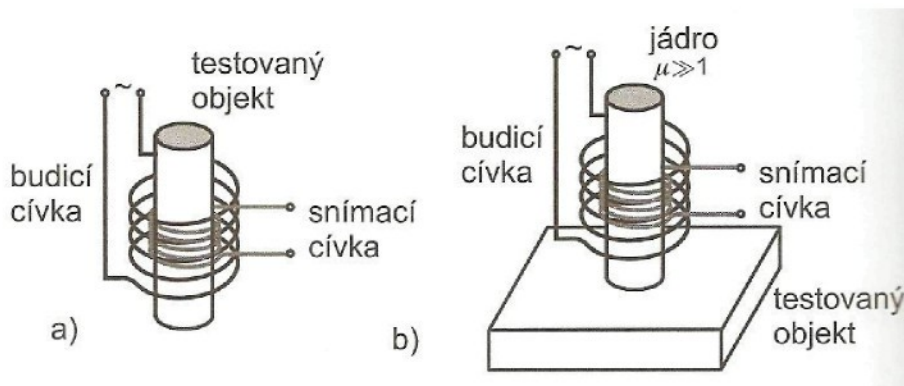
Charakteristikou feromagnetických ocelí a litin jsou bloky stejně orientovaných atomů – takzvané domény, které tvoří subzrma krystalické struktury. Polarizaci vnějším magnetickým polem dochází u domén se shodnou a blízkou polarizací s vnějším polem k růstu posunem Blochových zón, nebo ke skokovým změnám polarizace Barkhausenovými přeskoky. Po zániku vnějšího magnetického pole  $H_0$  se nevrátí všechny domény do původního stavu. Vzniká remanentní polarizace  $I_r$ . Zmagnetované místo má vlastní magnetické pole o intenzitě  $H_r$ . Vratným změnám brání atomy vázané v molekulách, atomární pnutí a mřížkové poruchy. [5]

$$B = H_0 - \frac{N \cdot I_r}{\mu} \quad [A/m] \quad (9)$$

Proto složky, které obsahují karbidy, martenzit, dislokace a hranice zrn vykazují vysokou hodnotu  $I_r$ . Demagnetizační činitel  $N$  charakterizuje vnější i vnitřní geometrické poměry rozhraní feromagnetika. [5]

Na vyšování amplitudy střídavého sinusového magnetizačního proudu je indukované napětí ve snímací cívce nejprve sinusové, tj. s převládající první harmonickou složkou a postupně při magnetickém sycení v oblasti nelineární magnetizační křivky nesinusové s obsahem vyšších harmonických složek. Volbou amplitudy magnetizačního proudu se mění geometrie hysterezí křivky a optimální volbou této geometrie lze získat požadované informace o tělese. Posouzení vlastnosti testovaného objektu je vyhodnoceno spektrální analýzou

výstupního napětí na snímací cívce. Analýza vlastností materiálu tělesa v různé hloubce se docílí postupným navyšováním frekvence magnetizačního proudu, tj. volbou hloubky vniku elektromagnetického pole. Hysterezí křivka se s hloubkou vniku zmenšuje. Jinou možností je testování pulzním proudem s velkým počtem harmonických složek s následnou spektrální analýzou.[2]



(obr. 4 Uspořádání při magnetoinduktivní metodě)

Vyhodnocování signálů u magneto-induktivní metody je založeno na automatickém porovnávání s kalibračními měřeními na přesně definovaných materiálech a tvarech vzorků. Velmi často se při vyhodnocování používají příznakové metody a rozpoznávání. [2]

*Přednosti impulsního magnetování před střídavým (vířivé proudy) a stejnosměrným:*

- získání velmi vysokých hodnot  $H_m$  bez tepelných efektů v sondě.
- bezkontaktní působení bez vlivu velikosti oddálení snímače od povrchu výrobku, napětí a chem. složení na výsledky měření.

Pro nízkouhlíkové oceli se aplikuje kontrola stavu rekrytizace za studena tvářených výrobků po rekrytizačním žíhání. Do teplot žíhání  $400\text{ }^{\circ}\text{C}$  se nemění mechanické vlastnosti, magnetické jen mírně. Nejvyšší změny

mechanických i magnetických vlastností nastávají mezi 500 – 550 °C. I tak hodnoty koercivní síly Hc a magnetické polarizace Jr leží na velmi nízké hladině. Proto byla zvolena výhodnější kontrola podle gradientu normální složky intenzity pole  $\nabla H_{rn}$  bodového magnetického pólu.

Obsah 0,02 – 0,07% Al potlačuje stárnutí oceli, zvyšuje plastické vlastnosti a mění množství magnetických vlastností, přičemž jejich tendence v závislosti na teplotě žíhání zůstává zachována.

Neuklidněně oceli do obsahu 0,22%C, nehledě na jakost oceli, se ke kontrole rekrytalizace impulzivní magnetickou metodou rovněž hodí.

Při kontrole středně uhlíkatých ocelí (0,35 – 0,75%C) a rozsahu žíhání 550 – 900 °C magnetické ale i mechanické vlastnosti monotónně klesají (bez výrazného poklesu v určitém intervalu) a kontrola rekrytalizace je také možná.

[1]

### **3.1 Prostředky impulzní magnetické kontroly:**

Základní prvek všech uvedených přístrojů tvoří vzduchová magnetizační příložná cívka s ferosondou – gradientem v ose. Některé varianty obsahují doplňující dvě postupné kompenzační cívky dovolující rozšířit meze měření  $\nabla H_{rn}$  do  $10^5$  A/m<sup>2</sup>, snížit teplotní závislost do 0,015%/°C v intervalu T<0;50>°C.

**IMA.** Značka skrývá sedm modelů přístrojů (impulzivní magnetický analyzátor 2 až 5 b). IMA 2 až 4a určeny ke kontrole tvrdosti, Rm, Rp a A plochých za studena tvárených ocelí do tloušťky 4 mm po žíhání. IMA 5, 5a, b pro silnější plechy. U IMA5b umožněna předběžná demagnetizace kontrolované oblasti. Umožnuje automatický výběr optimální amplitudy magnetizace pro potlačení vlivu oddálení **h**. To umožnuje měřit bez rušivých účinků různých vrstev do 3 mm.

**ILK** (impulzivní lokální kontrolér) měří mechanické vlastnosti konstrukčních ocelí pro zušlechtování (C>0,3%). Po kalení oceli následuje

popuštění v intervalu teplot 400 – 600 °C. Klasickou metodou bodového pólu se nedosáhne jednoznačných závislostí  $H_c$ ,  $H_m$  či  $\nabla H_m$  na teplotě popuštění. Pro přístroje ILK se však podařilo najít pracovní režim, který podává jednoznačné přesné výsledky kontroly zušlechtěných ocelových dílů. Klíč k úspěchu dává demagnetizační impulz  $H_{mp}$ , který má nižší intenzitu jak hlavní  $H_m$  a následuje ihned po odeznění elektromagnetických relaxačních procesů v materiálu vyvolaných hlavním impulzem. Velikost  $H_{mp}$  se stanoví pro nejtěsnější závislost na teplotě popuštění dané oceli. Příznivé výsledky získány pro oceli do 0,75% C nelegované i legované Cr, Ni, Mo, V, Si, Mn.

**KIM.** Přístroje s postupnou magnetizací řadou jednopolárních impulzů, jejichž amplituda roste a pak klesá do nulové hodnoty  $H_m$ . Měření  $\nabla H_m$  pak nezávisí na předchozím magnetickém stavu. Určeno pro velké součásti s velkými zbytkovými intenzitami polí po manipulaci elektromagnetickými jeřáby či po práškové defektoskopii.

**ELIPS.** Určený pro součásti s výraznou anizotropií texturou a svary. Umožňují namagnetovat povrch jen v úzkém pásu. Změřená informace  $H_m$  tak přísluší určité orientaci struktury.

**IMPOK.** Přístroje zabudované ve výrobních linkách plochých výrobků z ocelí od  $L = 0,15\text{mm}$  a nízkým obsahem C do 0,15%. Společným znakem těchto přístrojů je impulzivní periodická magnetizace z dvou protilehlých sond nad oběma povrhy. [1]

## 3.2 Frekvenční zkoušení

### Jednofrekvenční zkoušení

Magnetoinduktivní metodu lze pro zkoušení vlastností kovových materiálů použít několika různými způsoby. Nejjednodušším způsobem je jednofrekvenční zkoušení, kdy pro danou zkušební úlohu je zvolena optimální zkušební frekvence a nastaven optimální budící proud. Výhodou této koncepce je jednoduchost a rychlosť zkoušení. Určitou nevýhodou může

být u náročnějších zkušebních úloh nižší spolehlivost měření, neboť zvolené nastavení přístroje je optimalizováno pro zkoušení určité nebo určitých vlastností materiálu, ale toto jedno nastavení nemusí být vhodné pro všechny vlastnosti zkoušeného materiálu, které bychom chtěli kontrolovat. Tuto nevýhodu lze odstranit vícefrekvenčním (víceparametrickým) zkoušením. [4]

### Vícefrekvenční zkoušení

Podstatou vícefrekvenčního zkoušení je kombinace různých zkušebních frekvencí a budících proudů tak, abychom maximálním možným způsobem zvýšili spolehlivost měření. Jednotlivé vlastnosti zkoušeného materiálu se při různém nastavení zkušební frekvence a budicího proudu projevují různě silně. Lze tedy vybrat několik nastavení parametrů přístroje, při kterých se jednotlivé zkoušené vlastnosti materiálu projevují nejsilněji a s takto optimalizovanými parametry přístroje daný materiál současně zkoušet. Získáme tak řadu dílčích výsledků (pro každou sadu parametrů přístroje jeden výsledek), jejichž vzájemným porovnáním a automatickým vyhodnocením získáme jednoznačný zkušební výsledek. [4]

### Postupné vícefrekvenční zkoušení:

Principielně lze vícefrekvenční zkoušení rozdělit na tzv. postupné zkoušení, kdy dochází ke zkoušení jednotlivými frekvencemi postupně za sebou a na tzv. současné (pulsní) zkoušení, kdy dochází ke zkoušení vsemi nastavenými frekvencemi najednou pomocí budicího proudu, jehož průběh je definován superpozicí všech nastavených frekvencí.

Výhodou postupného zkoušení je možnost skutečně optimálního nastavení jednotlivých parametrických sad pro danou zkušební úlohu, neboť ke každé zvolené zkušební frekvenci lze nastavit optimální velikost budicího proudu. Určitým omezením však někdy může být nižší zkušební rychlosť způsobená právě postupným zkoušením jednotlivými frekvencemi za sebou. [4]

## **Současné vícefrekvenční zkoušení**

Další variantou magnetoinduktivní metody je současné vícefrekvenční (pulsní) zkoušení. Myšlenka tohoto zkoušení vychází z teorie, že pulsní signál lze rozložit na základní harmonickou vlnu signálu a teoreticky nekonečné množství vyšších harmonických signálů, které představují další zkušební frekvence. V praxi však dochází k vyhodnocování pouze určitého počtu vybraných zkušebních frekvencí. Pro současné vícefrekvenční zkoušení je charakteristická vysoká zkušební rychlosť, neboť zkoušení všemi vybranými frekvencemi probíhá současně. Na rozdíl od postupného vícefrekvenčního zkoušení však nelze pro jednotlivé zkušební frekvence nastavit optimální velikost budících proudů, neboť využívají pouze jednoho budícího proudu. [4]

### **3.3 Metoda magnetického bodového pólu**

V současné době se k měření metodou magnetického bodového pólu používá přístroj řady DOMENA, které navazují na sérii REMAG. Díky neustálému vývoji této metody můžeme přístroji DOMENA měřit nejen tvrdost feromagnetických materiálů, ale pevnost a hloubku prokalení.

Ve srovnání s klasickými způsoby měření tvrdosti je tato metoda velmi rychlá a je možné změřit tvrdost materiálu i přes povrchovou vrstvu.[6]

#### **Princip měření metodou magnetického pólu:**

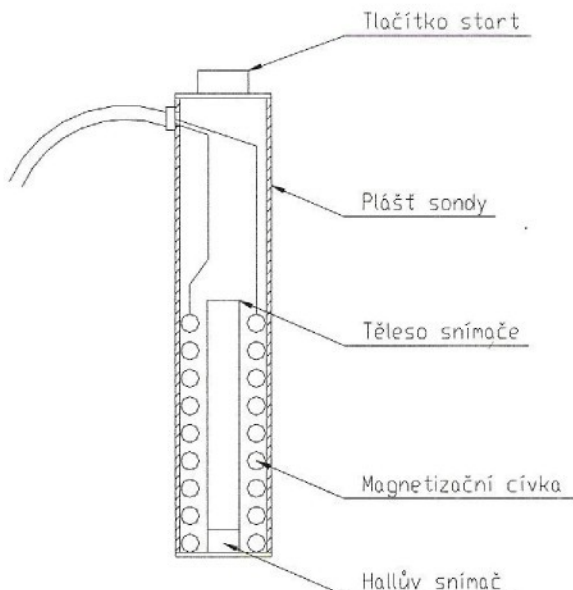
Jak již název napovídá, využívá tento způsob měření magnetických vlastností materiálu, čehož lze ovšem použít jen u feromagnetik.

Feromagnetické látky si udrží své magnetické vlastnosti v důsledku existence poruch krystalové mřížky (dislokací) a dalších překážek jako jsou atomy uhlíku, cementitu, nebo martenzitu, které brání návratu domén do původní orientace a do celkově magneticky neutrálního stavu.

Souvislost mezi mechanickou a magnetickou tvrdostí materiálu je dáná přítomností magneticky tvrdých strukturních složek (lamely perlitického cementitu, martenzit), které jsou zároveň i mechanicky tvrdé.

Princip této metody spočívá v měření intenzity zbytkového magnetického pole kontrolovaného materiálu pod čelem sondy jejíž hodnota přímo závisí na množství a disperzi perlitu nebo martenzitu.

Při měření metodou magnetického bodového pólu se nejprve zmagnetizuje povrch zkoušeného materiálu příložnou sondou (viz obr. 5), jejíž magnetizační cívka je napájena trojúhelníkovitými impulsy opačné polarity. Hallův snímač, který je umístěn v ose cívky na povrchu čela sondy, změří intenzitu zbytkového pole po předposledním impulsu, který je kladný. Následuje poslední záporný impuls, po jehož ukončení se opět změří intenzita zbytkového pole. Absolutní součet kladné a záporné intenzity zbytkového pole se ukáže na displeji měřícího přístroje. Tímto způsobem se dosáhne reprodukovatelných hodnot zmagnetování měřeného místa a eliminuje se nepříznivý vliv rušivých magnetických polí. [6]



obr. 5 – Schéma příložné sondy

### **3.3 Účinek koroze**

V technické praxi se setkáváme s nutností měřit metodou magnetického pólu na odlitku či výkovku zkorodovaném či okujeném, těsně po vytlučení z formy. Kysličníky Fe vykazují silnou magnetickou remanenci. [5]

#### **3.3.1 Koroze atmosférou při tepelném zpracování**

Materiál: Litina EN GJL 250, EN GJS 700-2. Měření na 12ti vzorech prováděno na identických místech před a po tepelném zpracování, otryskání. Byly simulovány žíhací procesy používané pro LLG a LKG v běžné praxi.

Při žíhání do 600°C i po dobu několika hodin vznikají oxidy, jejichž vliv na změnu Hr lze zanedbat. Při vyšších teplotách ruší okuje radikálně výsledek měření struktury – tab.1

Žíhání	Teplota [°C]	Výdrž [hod]	Růst v % Hr	Hr po otryskání
Na odstr. pnutí	630	3	5,3 +- 0,7	260
Naměko	730	5	30+-13	160
Na rozpad cem.	950	4	101 +- 5	180

Tab.1

Reakcí mezi formou a tuhnoucí litinou vznikají rovněž feromagnetické vrstvy, jejichž rušivý účinek se nejvíce projeví na odlitcích s feritickou matricí. Test na 6ti odlitcích z EN GJV-350 prokázal vyšší hodnoty Hr o 12 – 40% na surovém povrchu (písková forma bez nátěrů) vůči tryskanému povrchu. [5]

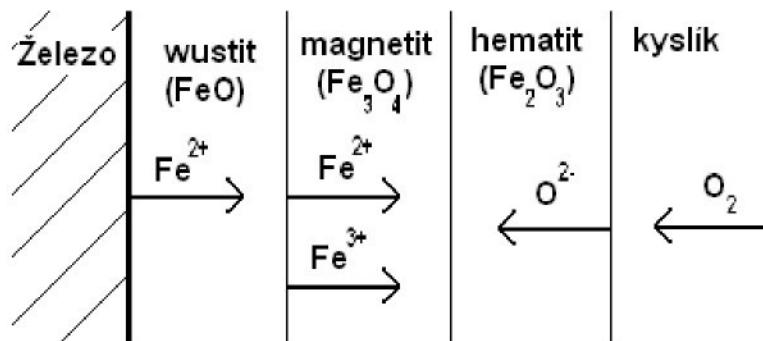
## 4 Teoretické základy oxidace ocelí

Ohřev oceli v běžných typech plamenem ohřívaných pecí i v elektrických pecích se vzdušnou atmosférou je vždy doprovázen oxidací povrch kovu.

Oxidace oceli probíhá již při pokojové teplotě jako rezivění. Zvýšením teploty na 200 až 300 °C a výše se pokrývá povrch oceli náběhovými barvami. Se zvýšením teploty se zvyšuje i rychlosť oxidace a proces probíhá nejintenzivněji při teplotách nad 1000°C. [3]

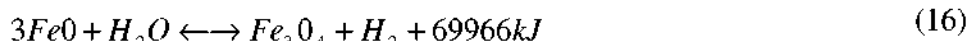
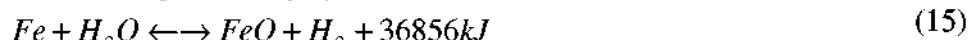
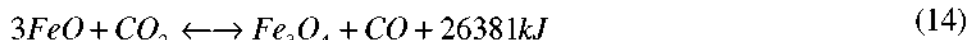
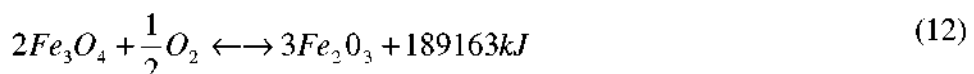
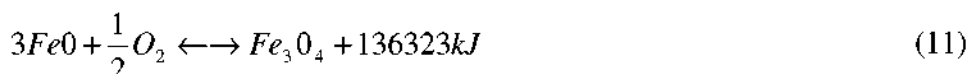
Při oxidaci se tvoří tři kysličníky železa:

- a) kysličník železnatý  $\text{FeO}$  (wustit), stálý při teplotách nad 570°C, teplota tavení 1377°C;
- b) kysličník železnato-železitý  $\text{FeO}$  (magnetit), stálý v celém rozsahu teplot, tedy od teploty pokojové do teploty tavení (1538°C);
- c) kysličník železitý  $\text{Fe}_2\text{O}_3$  (hematit), stálý od nízkých teplot do teploty tavení (1565°C).



obr.6 - Schéma difúzních pochodů v oxidické vrstvě během oxidace železa v kyslíku

Oxidace železa může probíhat podle těchto vratných reakcí:



Vratnost těchto reakcí je dána teplotou, tlakem, počáteční koncentrací a dobou, která je k dispozici pro dosažení rovnovážného stavu; značný vliv na dosažení rovnovážného stavu má i přítomnost účinných katalyzátorů.

Značný vliv v procesu oxidace železa má i přilnavost okují k povrchu kovu. [3]

#### **4.1 Vliv jednotlivých činitelů na propal kovu**

Pro rychlosť oxidace u železa a oceli je limitující difuze přes vrstvu kysličníků, takže propal kovu závisí mimo jiné především na činitelích majících vliv na difuzi, tj. na době a teplotě ohřevu, složení pecní atmosféry a chemickém složení oceli. Na tvorbu okují tak působí mnoho činitelů, jež mají vliv nejen na mechanizmus a kinetiku reakcí probíhajících při oxidaci kovu, ale zároveň i na strukturu, charakter a množství okují.[3]

##### **Vliv teploty a doby ohřevu:**

Prakticky lze vznik okují pozorovat až od teplot 600 – 650 °C, přičemž do teploty 900°C je oxidace pomalá. Nad touto teplotou pak nastává stále rychlejší nárůst vrstvy okují. Při teplotách nad 1275 – 1300°C vzrůstá rychlosť oxidace skokem v souvislosti s tavením okují, které způsobuje neustále

obnažování nezoxidovaného kovu. Rychlosť oxidace je v této oblasti šestkrát až sedmkrát větší než při teplotě 900°C.

Poněvadž oxidace oceli probíhá podle zákonů difuze, lze závislost mezi tloušťkou nebo hmotností okuji a dobou oxidace vyjádřit parabolickou rovnici:

$$y^2 = k \cdot \tau \quad (18)$$

kde  $y$  ... hmotnost nebo tloušťka okuji;

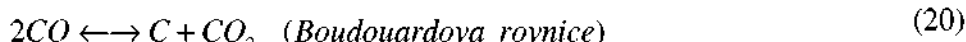
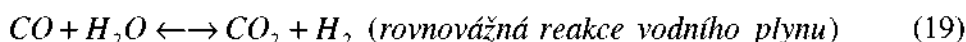
$\tau$  ... doba oxidace;

$k$  ... konstanta respektující změnu rychlosti oxidace v závislosti na teplotě

### Vliv pecní atmosféry:

Plyny, z nichž se skládá pecní atmosféra, mohou v závislosti na teplotě a vzájemném poměru působit na materiál oxidačně (např. O<sub>2</sub>, CO<sub>2</sub>, H<sub>2</sub>O a SO<sub>2</sub>), redukčně (CO a H<sub>2</sub>) nebo se chovat neutrálně (N<sub>2</sub>). Nauhličující účinek mají CO a CH<sub>4</sub>, naopak oduhlíčující CO<sub>2</sub>, H<sub>2</sub> a H<sub>2</sub>O.

Mimo již uvedené reakce 10 - 17 se uplatňují i rovnovážné reakce probíhající mezi plyny navzájem.



[3]

### Vliv chemické složení kovu a dalších činitelů:

Množství okuji, tvořících se na oceli různého chemického složení, nebude za jinak shodných podmínek stejně. Na průběh okyslicení dalších vrstev oceli má značný vliv druh a vlastnosti okuji, tvar a rozměr ohřívaného materiálu, způsob ohřevu atd. U nízkouhlíkových ocelí vznikají půrovité vrstvy okuji slabě lnoucí k povrchu oceli a umožňují další pronikání kyslíku k nezoxidované oceli, a tedy i další oxidaci.

Oceli s vyšším obsahem uhlíku (podle literárních údají nad 3% C) mají nižší opal. Jev je vysvětlován oxidací uhlíku za vzniku CO, který částečně chrání povrch kovu před dalším okysličením.

Při ohřevu legovaných ocelí, obsahujících Cr, Al, Si, Ni, tvoří legovací prvek na povrchu oceli dobře lnoucí ochranný kysličník z čistě legovací složky, který brání difúzi oxidačních plynů. A tím i další oxidaci základního materiálu. [3]

## 5 Statistika

### 5.1 Regresní analýza

Často chceme nejen rozhodnout, zda veličiny jsou závislé, či nezávislé, ale i určit jak spolu hodnoty proměnných souvisejí. Chtěli bychom tedy najít vzorec (rovnici) pro výpočet jedné proměnné na základě druhé. Při používání takových vzorek si musíme uvědomovat, že na rozdíl od matematiky nejsou z rovnice hodnoty závisle proměnné určeny jednoznačně, ale jsou zatíženy několika chybami. S těmito chybami úzce souvisí kvalita (vypovídající schopnost) a vhodnost či nevhodnost rovnice.

Závislost mezi proměnnými jsem měřil pomocí korelačního koeficientu. Proměnou, kterou zkoumáme nazýváme závisle proměnnou. Znaky, které ovlivňují závisle proměnou (určují její změny) nazýváme nezávisle proměnnými. Rovnice (funkce) popisující typ závislosti mezi proměnnými se nazývá regresní rovnice (funkce). Podle toho, o jaký druh závislosti se jedná, mluvíme o lineární, logaritmické, kvadratické atd., rovnici (funkci).

V regresní funkci předpokládáme, že nezávisle proměnná X nabývá hodnot X<sub>1</sub>, X<sub>2</sub>, ..., X<sub>n</sub> a závisle proměnná Y nabývá odpovídajících hodnot Y<sub>1</sub>, Y<sub>2</sub>, ..., Y<sub>n</sub> (kde n je počet pozorování). Snažím se nalézt, jak určit z hodnoty nezávisle proměnné X hodnotu závisle proměnné Y. [4]

#### 5.1.1 Rovnice pro výpočet spojnic trendu

**Lineární:**

Metodou nejmenších čtverců vypočte přímku představovanou následující rovnicí:

$$y = m \cdot x + b \tag{22}$$

kde m ... směrnice a b je průsečík s osou Y.

### **Logaritmická:**

Metodou nejmenších čtverců vypočte křivku proloženou body podle následující rovnice:

$$y = c \cdot \ln x + b \quad (23)$$

kde  $c$  a  $b$  ... konstanty

$\ln$  ... přirozený logaritmus.

### **Exponenciální**

Metodou nejmenších čtverců vypočte křivku proloženou body podle následující rovnice:

$$y = c \cdot e^{b \cdot x} \quad (24)$$

kde  $c$  a  $b$  ... konstanty

$e$  ... základ přirozeného logaritmu.

### **Mocninná**

Metodou nejmenších čtverců vypočte křivku proloženou body podle následující rovnice:

$$y = c \cdot x^b \quad (25)$$

kde  $c$  a  $b$  ... konstanty.

## **5.2 Korelace**

Analytický nástroj Korelace měří vztah mezi dvěma sadami dat, která jsou vážena, aby nebyla závislá na použité jednotce míry. Na základě následujících vzorců vrátí výpočet korelačního koeficientu souboru kovarianci dvou sad dat dělenou součinem jejich směrodatných odchylek.

Korelaci můžeme použít k testování závislosti dvou sad dat. Závislost

znamená, že vysoké hodnoty v jedné sadě odpovídají vysokým hodnotám ve druhé sadě (kladná korelace) nebo že nízké hodnoty v jedné sadě odpovídají vysokým hodnotám ve druhé sadě (záporná korelace). Pokud jsou hodnoty v obou sadách nezávislé, bude korelace blízká nule. [4]

Rovnice korelačního koeficientu je:

$$\rho_{x,y} = \frac{\text{cov}(X,Y)}{\sigma_x \sigma_y} \quad (26)$$

$$-1 \leq \rho_{x,y} \leq 1 \quad (27)$$

$$\text{cov}(X,Y) = \frac{1}{n} \sum_{i=1}^n [(x_i - \mu_x) \cdot (y_i - \mu_y)] \quad (28)$$

$$\sigma_x^2 = \frac{1}{n} \sum_{i=1}^n (x_i - \mu_x)^2 \quad (29)$$

$$\sigma_y^2 = \frac{1}{n} \sum_{i=1}^n (y_i - \mu_y)^2 \quad (30)$$

kde  $\mu$  ... střední hodnota  
 $\sigma$  ... střední směrodatná odchylka  
 $\text{cov}$  ... kovariance  
 $\rho$  ... korelační koeficient  
 $n$  ... počet hodnot  
 $X, Y$  ... sady dat

[4]

# Praktická část

## 6 Trubkové vzorky

K dispozici jsem měl trubky z materiálu 11 353 a 15 020 (vlastnosti viz tab. 2 a 3).

C	P	S	P+S
max 0,18	max 0,05	max 0,05	max 0,09

použití: jednoúčelová ocel k výrobě  
bezešvých trubek

Tab.2 Materiál 11 353

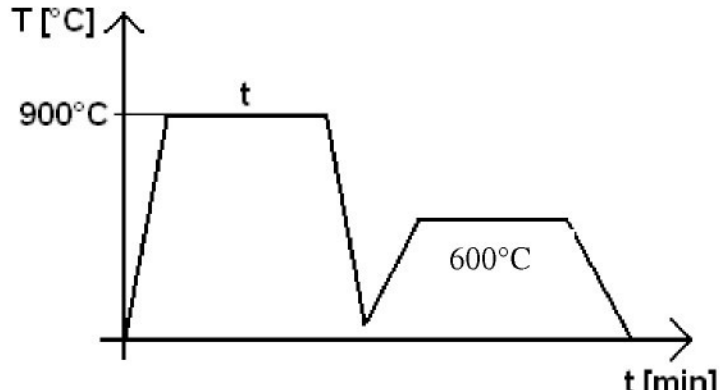
C	Mn	Si	Mo	Al	P	S
0,12 - 0,20	0,50 - 0,80	0,15 - 0,37	0,25 - 0,35	max. 0,015	max. 0,04	max. 0,04

použití: Žáropevná ocel se zvýšenou odolností proti korozí

Tab. 3 Materiál 15 020

Tepelné  
zpracování jsem  
provedl v elektrické  
peci a zakalil do  
vody z teploty  
900°C - délka  
výdrže t =  
15/30/45/60min.

(Obr. 7).



obr. 7

Jak prokázala měření tvrdosti na čelech (viz příloha 1) jedná se o oceli nekalitelné – rozdíl tvrdostí činí 5 HB (11 353) respektive 6 HB (15 020)



obr. 8 rozpětí vzorků



obr. 9 DOMENA B2

## 6.1 Měření:

Po zapnutí DOMENY B2 (obr. 9) a nastavení přepínače na magnetizaci na příslušný stupeň, bylo před každou sérií měření zařízení zkalibrováno pomocí etalonu na hodnotu  $M = 180$ .

Vzorky jsem rozdělil po  $180^\circ$  v jednom místě jsem přístrojem DOMENA B2 prováděl měření na stupeň M2 a v druhém místě na stupeň M6.



obr. 10 - měření vzorků

## 6.2 Změna IZMP ( $M$ ) s dobou výdrže

Naměřené hodnoty jsem pomocí vzorce

$$\delta M = \frac{M_{ix} - M_{i0}}{M_{i0}} \cdot 100 \quad (31)$$

kde  $\delta M$  ... relativní hodnota intenzity zbytkového magnetického pole

$M_{ix}$  ... absolutní hodnota

$M_{i0}$  ... absolutní hodnota  $M$  u vzorku bez TZ

převedl do relativních hodnot (Tab. 4 a 5)

M2 13353

čas [min]	číslo měření			
	1	2	3	4
0	0	0	0	0
10	21,3	19,9	19,3	17,7
30	37,4	35,8	34,2	31,5
45	39,5	40,0	39,6	37,1
60	64,2	65,3	61,8	60,4

M6 11 353

čas [min]	číslo měření			
	1	2	3	4
0	0	0	0	0
10	-0,2	3,2	3,0	6,5
30	21,9	26,4	25,8	28,9
45	34,4	38,2	38,1	43,0
60	36,0	39,9	37,0	40,0

Tab. 4 hodnoty M2 a M6 11 353

M2 15 020

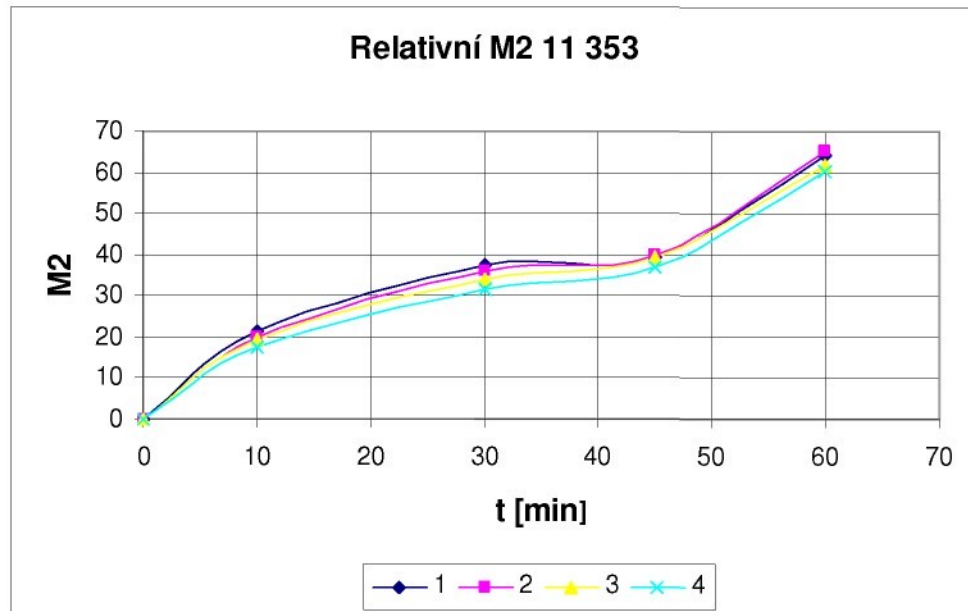
čas [min]	číslo měření			
	1	2	3	4
0	0	0	0	0
10	24,7	17,3	15,0	11,8
30	41,6	33,1	31,1	27,4
45	49,4	40,5	38,1	35,3
60	87,8	80,1	77,8	75,7

M6 15 020

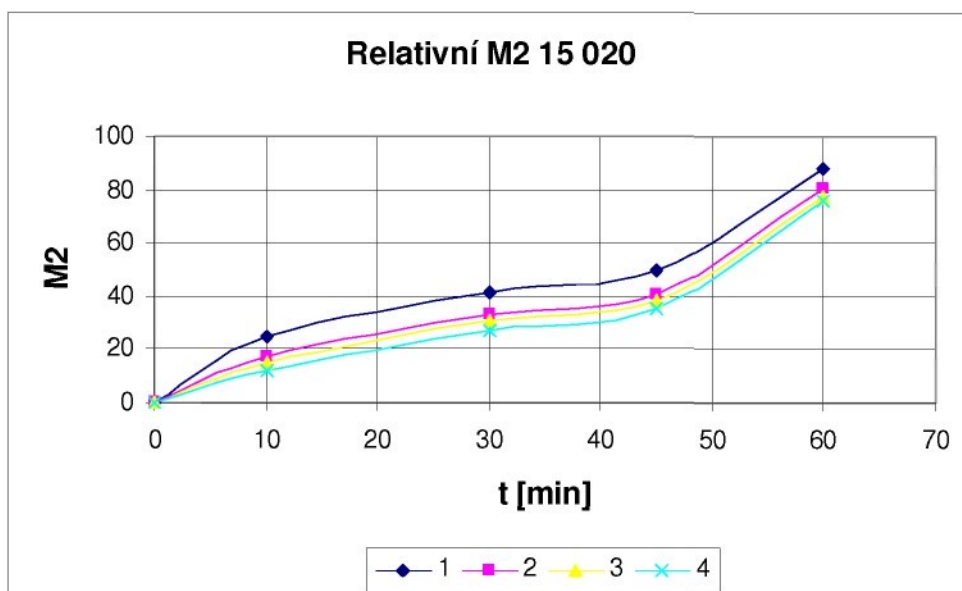
čas [min]	číslo měření			
	1	2	3	4
0	0	0	0	0
10	-2,8	-2,6	-1,6	-1,4
30	15,4	13,1	12,1	12,6
45	31,9	30,8	29,1	28,2
60	49,3	50,1	51,0	51,8

Tab. 5 hodnoty M2 a M6 15 050

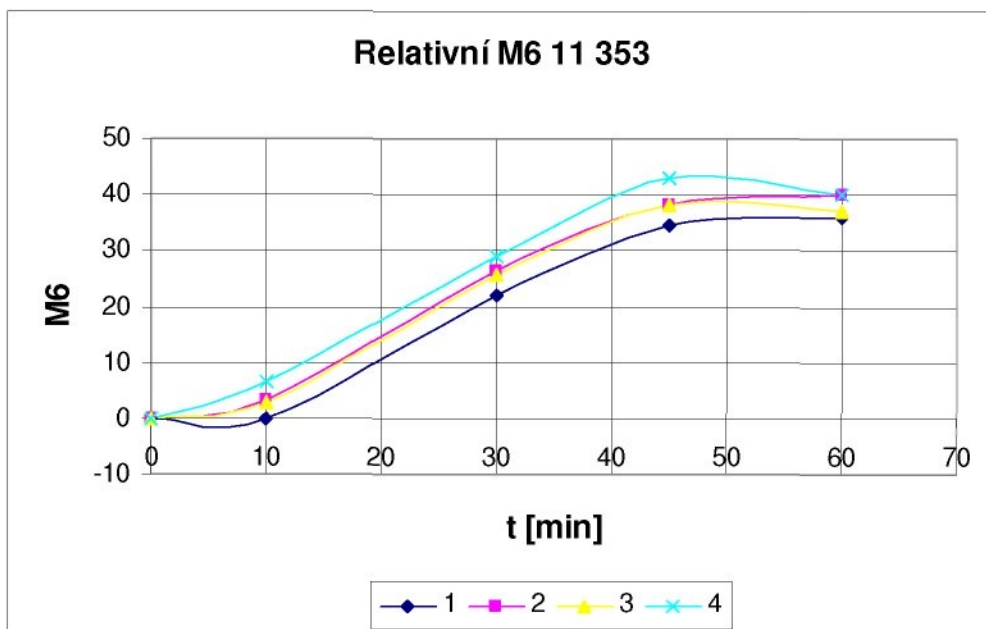
Ze zjištěných hodnot jsem dále vytvořil grafy relativních závislostí M na t:



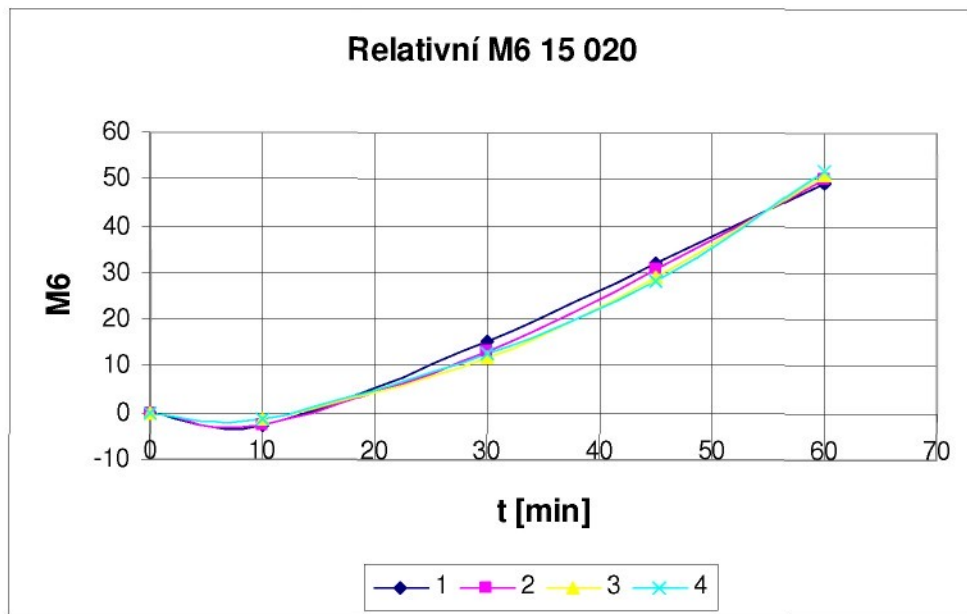
Graf 1



Graf 2



Graf 3



Graf 4

Jak je patrné z grafů při stupni magnetizace M2 dochází k pozvolnému nárůstu intenzity zbytkového magnetického pole a to až do výdrže 45 minut, následně dochází ke zrychlenému nárůstu a to u obou materiálů.

Při magnetizaci stupněm M6 je do 10 minut míra intenzity zbytkového magnetického pole téměř konstantní. Posléze dochází k nárůstu hodnot, který u materiálu 11 353 ustává v čase výdrže 45 minut. U materiálu 15 020 je narůstající tendence i v čase 60 minut.

### **6.3 Změna IZMP (M) s tloušťkou oxidické vrstvy**

Následně jsem odebral vzorky a změřil tloušťku vzniklých oxidů po jednotlivých dobách výdrže na teplotě 900°C (tab. 6)

11 353				15 020			
t [min]	M2	M6	L [ $\mu\text{m}$ ]	t [min]	M2	M6	L [ $\mu\text{m}$ ]
0	133,5	133,7	0	0	122,7	117,1	0
10	166,4	130,0	47,7	10	148,8	116,9	65,8
30	189,0	154,3	74,6	30	168,6	142,8	74,8
45	199,4	176,4	85,9	45	171,1	157,4	95,4
60	250,7	199,7	93,3	60	201,4	159,3	113,5

Tab. 6

Získanými body v závislosti  $L = f(M)$  jsem proložil spojnice trendu a to polynomickou 2. stupně a posléze logaritmickou (Grafy 5 – 10) a určil rovnice regrese. Potvrdilo se, že intenzita zbytkového magnetického pole při stupni M2 je ovlivněna převážně oxidy, kdežto při M6 proniká magnetizace hlouběji do materiálu – závislost tloušťky oxidické vrstvy na IZMP již není tak výrazná.

U materiálu 11 353 je zřejmá maximální vrstva oxidů cca. 93,3  $\mu\text{m}$  (viz graf 5).

Získané rovnice jsou:

pro mat. 11 353:  $L = -0,091M^2 + 4,23M - 413 \text{ [\mu m]}$  (32)

s  $R = 0,998$

a  $L = 154Ln(M) - 743 \text{ [\mu m]}$  (33)

s  $R = 0,945$

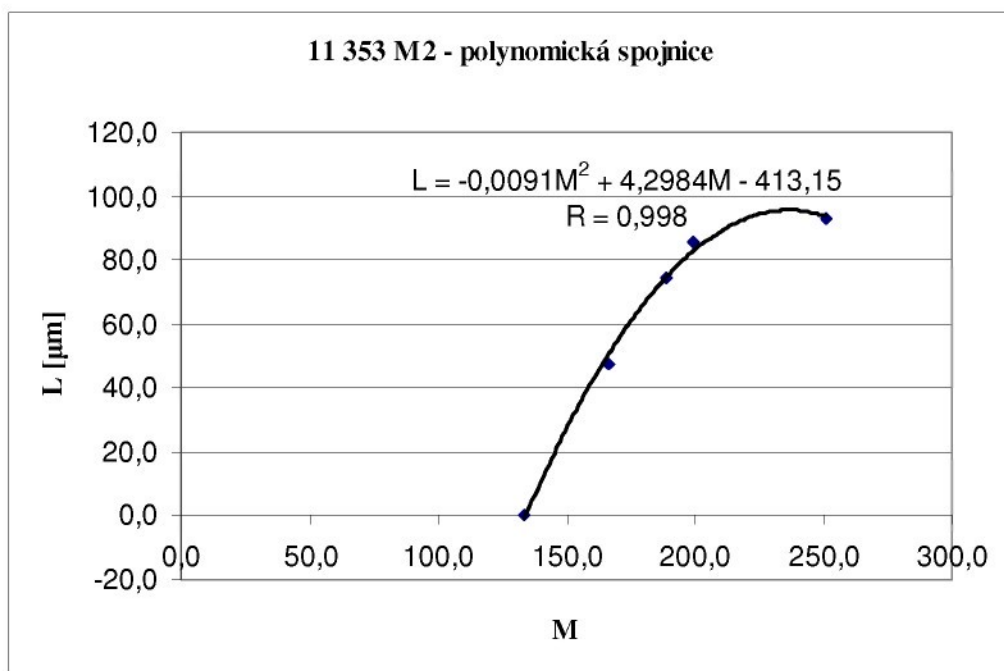
pro mat. 15 020:  $L = -0,014M^2 + 5,88M - 511 \text{ [\mu m]}$  (34)

s  $R = 0,983$

a  $L = 226,9Ln(M) - 1082 \text{ [\mu m]}$  (35)

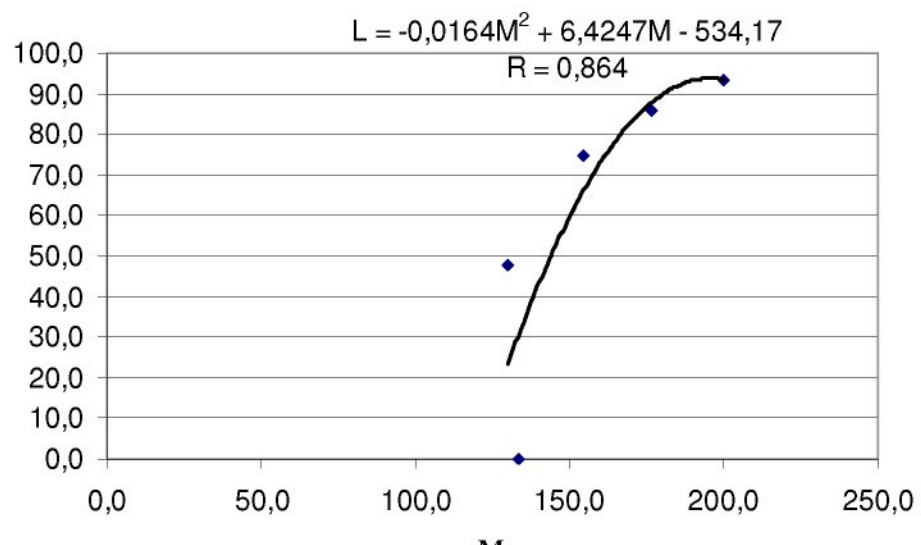
s  $R = 0,968$

### Grafy $L = f(M)$ :



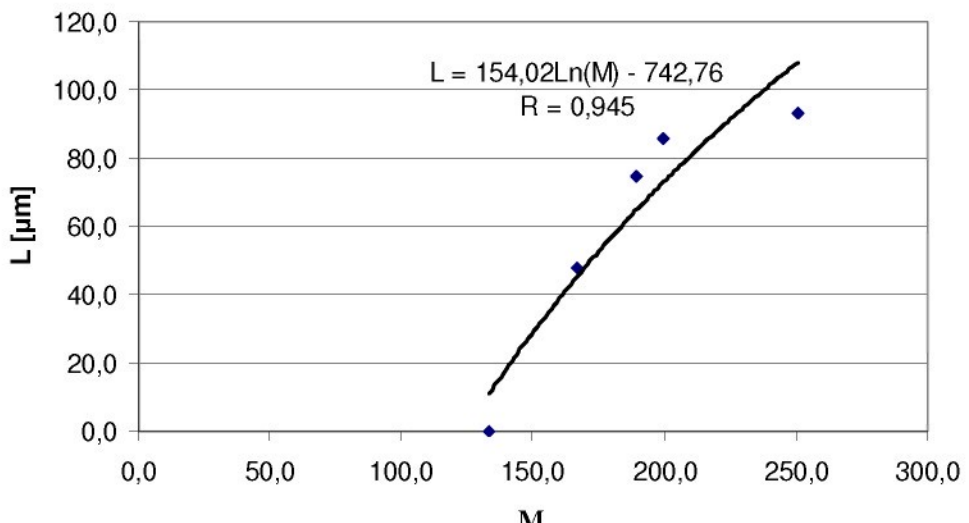
Graf 5

### 11 353 M6 - polynomická spojnice

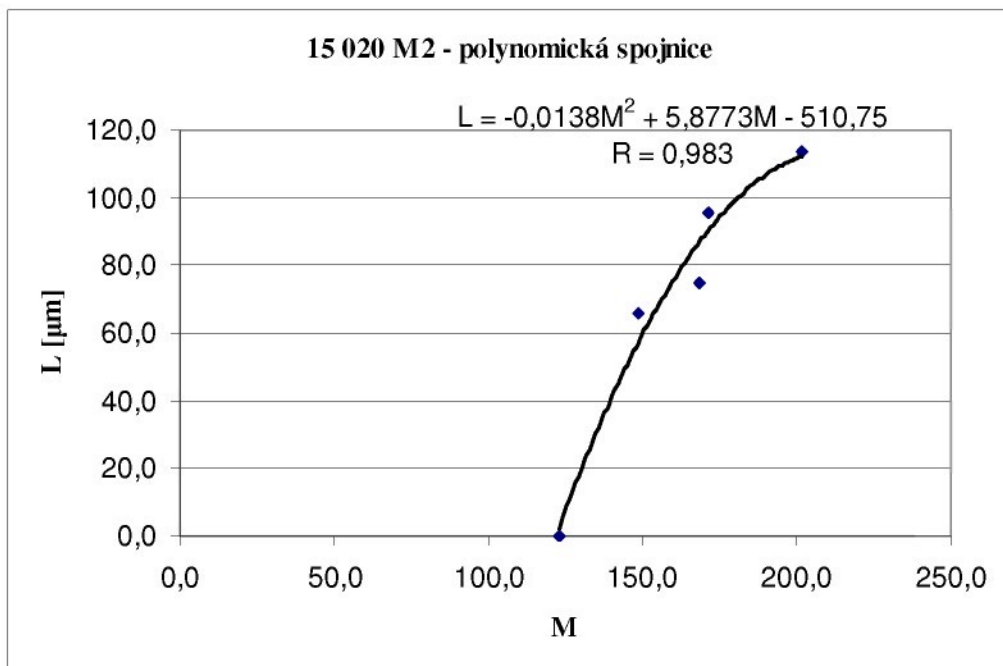


Graf 6

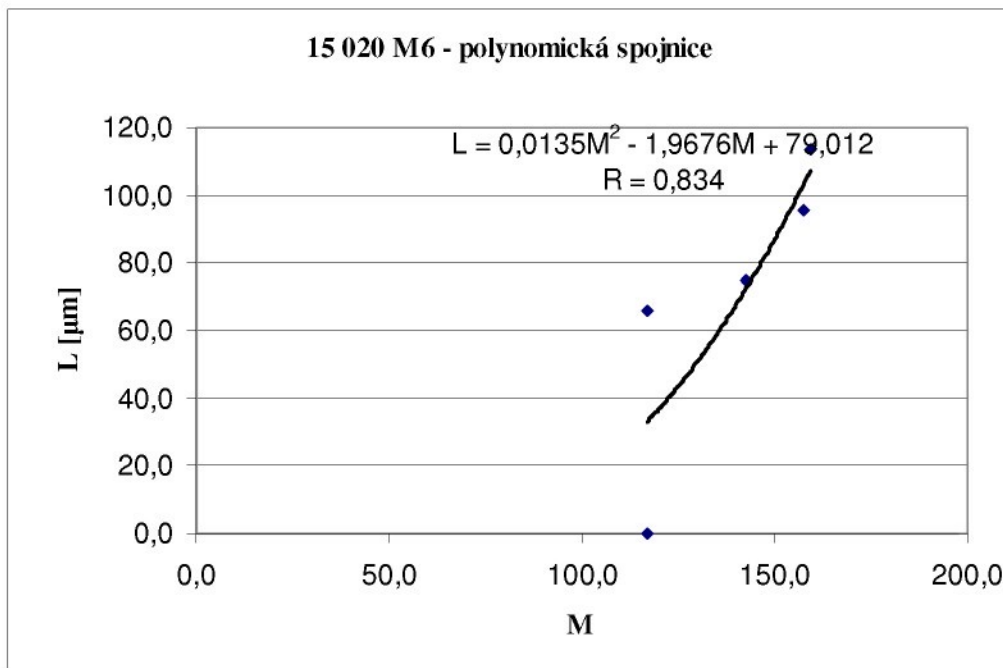
### 11 353 M2 - logaritmická spojnice



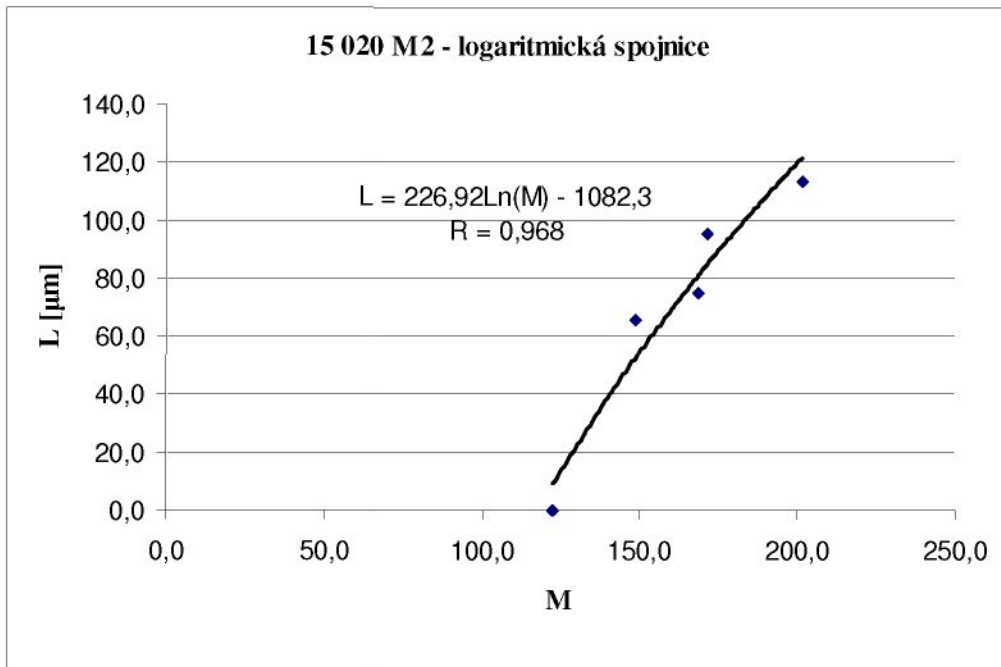
Graf 7



Graf 8



Graf 9



Graf 10

## 7 Válcové vzorky

K dispozici jsem měl měření provedená na tepelně zpracovaných válcových vzorcích (viz obr. 11 a tab. 8) z materiálu 15 141 (tab. 7)

C	Mn	Si	Cr	Ni	Mo	P	S
0,38- 0,45	0,50- 0,80	0,17- 0,37	0,9-1,2	max. 0,5	0,15- 0,30	max. 0,035	max. 0,035

použití: Vhodná pro povrchová kalení. Užívá se na velmi namáhané strojní součásti a součásti silničních motorových vozidel, kde se požaduje při vysoké pevnosti i vyšší houževnatost, zejména hřídele a spojovací součásti.

Tab. 7



Obr. 11

číslo vzorku	kalící teplota	kalící medium	popouštěcí teplota	HB
1	850/1,5hod.	voda (15+10°C)	500/1hod.	363
2	850/1,5hod.	voda (15+10°C)	580/1hod.	315
3	850/1,5hod.	voda (15+10°C)	660/1hod.	268

Tab. 8

## 7.1 Porovnání oxidického a broušeného povrchu:

	HB	oxidy		broušeno		nárůst [%]	
		1. měř	Ø 2. - 4. měř.	1. měř	Ø 2. - 4. měř.	1. měř	Ø 2. - 4. měř.
1	363	171	134,4	146,7	122,2	16,6	9,9
2	315	197	160,3	153,3	131,2	28,5	22,2
3	268	212	181,4	182,6	159,6	16,1	13,7
					průměr	20,4	15,3

Tab. 9

Nárůst intenzity zbytkového magnetického pole u zušlechtěných vzorků je průměrně 20,4% při prvním měření a 15,6% u Ø 2. – 4. měření.

## 7.2 Stanovní vzorců pro nedestruktivní zkoušení:

Z naměřených hodnot jsem vypočetl hodnoty pro lineární vzorec

$$HB = M \times B + A$$

kde  $M$  ... naměřená intenzita zbytkového magnetického pole

$A, B$  ... zjištěné konstanty

s korelací  $K$

oxidické vzorky

B	- 2,27
A	753,2
K	-0,989

zbroušené vzorky

B	-2,33
A	690,1
K	-0,937

$$HB = M \times (-2,27) + 206,9 \quad (36)$$

Míra přesnosti  $K = 98,9\%$

$$HB = M \times (-2,33) + 690,1 \quad (37)$$

Míra přesnosti  $K = 93,7\%$

I přes malý počet vzorků bylo dosaženo velkých přesností a je zřejmé, že interpolační křivka má sestupný charakter (záporná korelace  $K$ ).

## 8 Hřídele

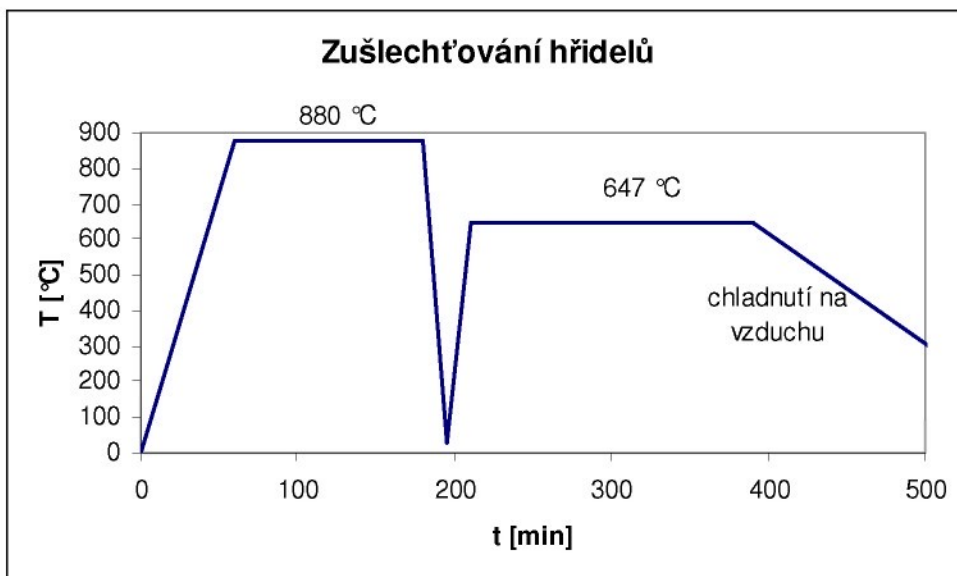
### 8.1 Vzorky

Ke zkoušení jsem si vybíral vzorky z hřídelů z 41CrS4 (Tab. 10) které se po zušlechtění viz obr. 12 vyrábí v hodnotách 265 – 285 HB (Tolerovat je možno 242 – 290 HB, přičemž hodnot nižších než 266 HB nebývá zpravidla dosahováno).

C	Si	Mn	P	S	Cr
0,38 - 0,45	max. 0,40	0,60 - 0,90	max. 0,035	0,020 - 0,040	0,90 - 1,20

použití: Součásti pro vozidla a motory, jako hřídele, nápravy, součásti řízení.

Tab. 10



obr. 12 - Zušlechtování hřidele

Při kontrole vybrány hřídele kalené v šachtové peci bez ochranné atmosféry s následujícími hodnotami HB 269, 272, 277, 285 a 290, kromě toho byly vyrobeny neshodné hřídele (Teplota popouštění byla snížena cca o 40°C přičemž rozdíl v tloušťce vzniklých oxidů lze zanedbat) s hodnotami HB 305, 307 a 309.

Dále byly vybrány vzorky zušlechtěné v lince víceúčelových pecí firmy DEGUSSA, tzn. tepelně zpracované v ochranné atmosféře a to s hodnotami tvrdostí 270 – 292 HB viz tabulka 7 (DEGUSSA).



## 8.2 Měření

Jak již bylo výše uvedeno kusy k magnetické strukturoskopii jsem vybíral dle jejich tvrdosti, kterou jsem měřil na tvrdoměru REICHERTER EČ/T:520 Ø10mm/3000N (obr. 14).

Po zapnutí DOMENY B2 a nastavení přepínače na magnetizaci na příslušný stupeň, bylo zařízení zkalirováno pomocí etalonu na hodnotu etalonu  $M = 180$ . Měření intenzity zbytkového magnetického pole jsem na stupeň magnetizace M4 a po demagnetizaci nově testován stupněm M6 a to na dvou místech:

- 1) válcová část  $90^\circ$  pootočená od místa tvrdosti obr. 15a
- 2) kruhová čelní plocha obr. 15b – (Lepší dotyk sondy+bez potřeby prizmatického přípravku X větší vzdálenost od kontrolního místa měření)



obr. 14



obr. 15

Následně byly hřídele demagnetizovány opískovány a měření byla opakována na tryskaném povrchu (obr. 16).



Obr. 16

### 8.3 Porovnání povrchů

Stupeň magnetizace M4:

Oxidický povrch x povrch opískovaný:

	HB	oxidy		pískováno		nárůst [%]	
		1. měř	Ø 2.–4. měření	1. měř	Ø 2.–4. měření	1. měř	Ø 2.–4. měření
I	305	288,9	249,3	238,2	223,4	21,3	11,6
II	309	290,6	247,3	236,1	230,2	23,1	7,4
III	307	281,3	236,4	242,7	231,6	15,9	2,1
IV	290	279,9	228,9	239,5	232,1	16,9	-1,4
V	269	275,5	229,8	225,5	207,2	22,2	10,9
VI	272	289,0	235,7	237,9	229,6	21,5	2,7
VII	277	297,3	239,7	254,1	249,3	17,0	-3,8
VIII	285	303,0	247,5	259,4	246,4	16,8	0,4
průměr						19,3	3,7

Tab. 11

Povrch chráněný ochranou atmosférou x povrch opískovaný:

	degusa			pískováno			nárůst [%]	
	HB	1. měř	Ø 2.–4. měření	HB	1. měř	Ø 2.–4. měření	1. měř	Ø 2.–4. měření
1	292	276,2	229,7	290	239,5	232,1	15,4	-1,0
2	270	234,7	191,4	269	225,5	207,2	4,1	-7,6
3	275	288,4	234,1	272	237,9	229,6	21,2	2,0
4	275	288,4	234,1	277	254,1	249,3	13,5	-6,1
5	288	293,0	238,7	285	259,4	246,4	12,9	-3,1
6	282	283,4	230,2	285	259,4	246,4	9,2	-6,6
průměr						12,7	-3,7	

Tab. 12

Povrch netryskaný vykazuje oproti povrchu opískovanému při první magnetizaci o 19,3 % větší intenzitu zbytkového magnetického pole. Rozdíl intenzity zbytkových magnetických polí u průměru následujících tří měření již není výrazný – tj. 3,7%

Povrch hřidelů TZ pomocí pecí DEGUSSA má při prvním měření intenzitu zbytkového magnetického pole o 12,7 % vyšší. Průměrná hodnota dalších tří měření je dokonce o 3,8% nižší u než u opískovaného povrchu.

#### *Stupeň magnetizace M6:*

Oxidický povrch x povrch opískovaný:

	HB	oxidy		pískováno		nárůst [%]	
		1. měř	Ø 2.–4. měření	1. měř	Ø 2.–4. měření	1. měř	Ø 2.–4. měření
I	305	203,8	198,0	241,5	237,1	8,6	8,1
II	309	219,0	216,6	239,1	240,9	1,4	-3,2
III	307	209,6	209,6	237,3	235,1	17,9	19,1
IV	290	218,5	217,0	265,4	256,3	-22,4	-21,6
V	269	230,2	209,6	257,6	248,3	7,0	8,0
VI	272	236,6	234,4	245,5	245,6	-2,0	-4,4
VII	277	215,4	212,6	252,7	253,1	3,2	2,0
VIII	285	219,2	208,7	242,2	242,1	6,5	5,0
						průměr	2,5
							1,6

Tab. 13

Povrch chráněný ochranou atmosférou x povrch opískovaný:

degusa			pískováno			nárůst [%]	
HB	1. měř	Ø 2.–4. měření	HB	1. měř	Ø 2.–4. měření	1. měř	Ø 2.–4. měření
292	320,2	270,6	290	265,4	256,3	20,7	5,6
270	298,0	257,6	269	257,6	248,3	15,7	3,7
275	291,0	250,9	277	252,7	253,1	15,2	-0,9
280	260,1	217,5	277	252,7	253,1	2,9	-14,0
288	254,0	220,3	285	242,2	242,1	4,9	-9,0
						průměr	9,9
							-2,4

Tab. 14

Povrch netryskaný vykazuje oproti povrchu opískovanému při první magnetizaci o 2,5 % větší intenzitu zbytkového magnetického pole. Rozdíl intenzity zbytkových magnetických polí u průměru následujících tří měření je minimální (1,6%).

Povrch hřidelů TZ pomocí pecí DEGUSSA má při prvním měření intenzitu zbytkového magnetického pole o 11,8 % vyšší. Průměrná hodnota dalších tří měření je dokonce o 2,9% nižší u než u opískovaného povrchu.

#### **8.4 Určení vzorce pro nedestruktivní zkoušení**

Z naměřených hodnot jsem vypočetl hodnoty pro lineární vzorec

$$HB = M \times B + A$$

Kde  $M$  ... naměřená intenzita zbytkového magnetického pole

$A, B$  ... zjištěné konstanty

s korelací  $K$

M4 oxidy – válcová část:

B	0,00
A	290,4
K	-0,002

M4 tryskáno – válcová část:

B	0,02
A	283,7
K	0,015

$$HB = M \times (-0,004) + 290,4 \quad (38)$$

Míra přesnosti  $K = 0,2\%$

$$HB = M \times 0,02 + 283,7 \quad (39)$$

Míra přesnosti  $K = 1,5\%$

M4 oxidy – kruhové čelo

B	-0,50
A	411,5
K	-0,749

M4 tryskáno – kruhové čelo

B	-0,52
A	396,1
K	-0,423

M4 DEGUSSA – válcová část

B	0,28
A	206,9
K	0,753

M4 DEGUSAA – kruhové čelo

B	0,43
A	184,3
K	0,552

M6 oxidy – válcová část:

B	0,00
A	288,2
K	0,006

M6 tryskáno – válcová část:

B	-0,92
A	518,1
K	-0,569

M6 oxidy – kruhové čelo

B	-1,17
A	544,6
K	-0,755

M6 tryskáno – kruhové čelo:

B	-0,58
A	419,0
K	-0,620

Ani jeden ze zjištěných vztahů nemá dostatečnou korelací vzhledem ke změřeným hodnotám. Některé hodnoty zbytkové magnetizace se jeví jako nezávislé na tvrdosti ( M4 válcová část - oxidický povrch i povrch tryskaný a M6 válcová část oxidická). Ostatní hodnoty mají zápornou hodnotu korelace a tedy spojnice trendu má klesající tendenci. (Ze vzrůstající intenzitou zbytkového magnetického pole klesá tvrdost).

Měření na kruhovém čele, které vykazuje u oxidických povrchů vysokou hodnotu přiblížení (0,75 pro M4 i M6 na netryskařeném povrchu) se

v praxi při výpadku jednoho topného okruhu šachtové pece neosvědčilo – viz příloha 4.

U netryskaných dílů by na chybě mohla být porezita vzniklých oxidů a tím i nedokonalý kontakt sondy DOMENY B2 se vzorkem. Provedené pokusy na otryskané hřídeli však naznačují, že magnetická strukturoskopie přístrojem DOMENA B2 je pro dané tepelné zpracování materiálu nevhodná.

## 9 Ojnice

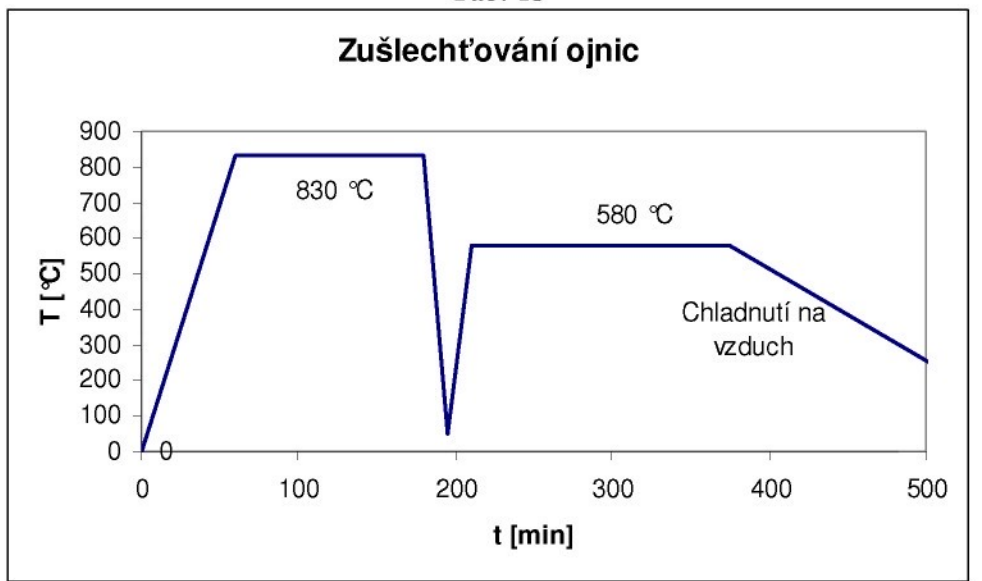
### 9.1 Vzorky

K měřená jsem si vybíral vzorky z ojnic (obr. 18) z oceli 13 240 (Tab. 15), které po zakalení mají rozmezí tvrdostí 239 – 285 HB.

C	Mn	Si	P	S
0,33 - 0,41	1,10 - 1,40	1,10 - 1,40	max. 0,035	max. 0,035

Použití: Středně namáhané strojní součásti a části silničních vozidel zvlášt' odolné proti opotřebení

Tab. 15



Obr. 17



Obr. 18 - ojnice

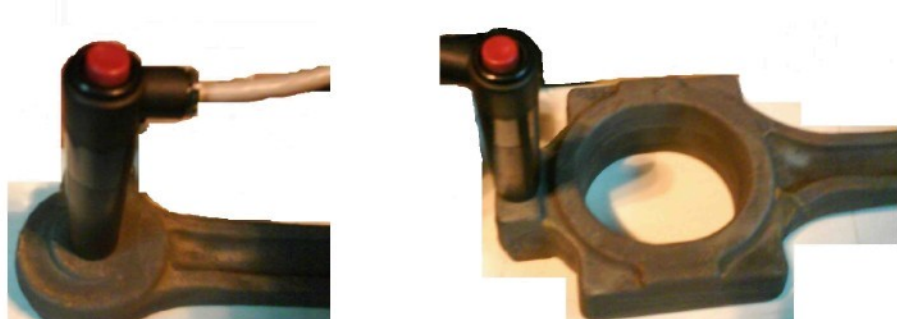
## 9.2 Měření

Klasické měření pomocí tvrdoměru REICHERTER EČ/T:520 Ø10mm/3000N (obr. 14) se provádí na dvou místech

- 1) Oko pístního čepu (Obr. 19a)
- 2) Vývažek ojnice. (Obr. 19b)

Tyto místa jsem zvolil i pro kontrolu strukturoskopem DOMENA B2 (Kalibrována pomocí etalonu na  $M = 180$ ).

Měření jsem prováděl pro určení vzorce pro nedestruktivní zkoušení materiálu přes oxidickou vrstvu přístrojem DOMENA B2 (Kalibrace na etalon  $M = 180$ ). Posléze po úpravě povrchu jsem provedl měření tvrdosti pomocí tvrdoměru.



a)  
b)  
Obr.19

### **9.3 Určení vzorce pro nedestruktivní zkoušení**

Z naměřených hodnot jsem vypočetl hodnoty pro lineární vzorec

$$HB = M \times B + A$$

Kde  $M$  ... naměřená intenzita zbytkového magnetického pole

$A, B$  ... zjištěné konstanty

s korelací  $K$

Oko pístního čepu:

B	0,98
A	62
K	0,69

Vývažek ojnice:

B	0,54
A	150
K	0,73

$$HB = M \times 0,98 + 62 \quad (40)$$

Míra přesnosti  $K = 69\%$

$$HB = M \times 0,54 + 150 \quad (41)$$

Míra přesnosti  $K = 73\%$

Získané vzorce mají poměrně vysoké hodnoty korelace, které by se pravděpodobně ještě více narostly při vyšším rozsahu měřeného rozmezí tvrdosti, to však vzhledem ke krátkodobosti zakázky nebylo možné rozšířit.

## 10 Brzdové držáky z GJS

### 10.1 Vzorky

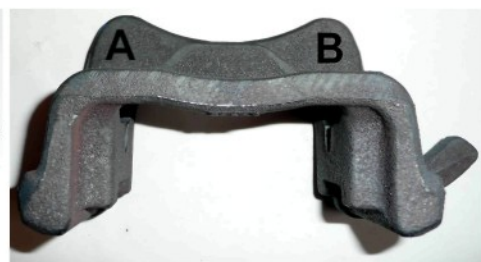
K dispozici jsem měl 6 ks držáků brzd z GJS – 550 (Obr. 20) o složení tab. 16. Díly byly žíhány na snížení tvrdosti při teplotě 650 – 700°C a výdrži 2 hod., čímž bylo dosaženo rozmezí tvrdosti 222 – 168 HB a výdrži 2 hod.

C	Si	Mn	S
3,62 – 3,75	2,11 – 2,40	0,19 – 0,27	0,006 – 0,009
P	Cu	Al	Mg
0,03 – 0,04	0,38 – 0,47	0,008 – 0,10	0,031 – 0,034

Tab. 16 Složení GJS - 500



Obr. 20



Obr. 21 – místa měření

### 10.2 Měření:

Každý z držáků brzd jsem měřil přístrojem DOMENA B2 (kalibrce na  $M = 180$ ) na dvou místech označených A a B viz obr. 21 stupněm magnetizace M4 následovala demagnetizace obroušení oxidů a nové měření intenzity zbytkového magnetického pole. Následně byly v jednotlivých místech zjištěny tvrdosti pomocí tvrdoměru REICHERTER EČ/T:520 Ø10mm/3000N (obr. 14).

### 10.3 Porovnání povrchů:

Vzorek	Místo měření	Tvrnost [HB]	Oxidy		Zbroušeno		nárůst [%]	
			1. měř.	Ø 2.–4. měření	1. měř.	Ø 2.–4. měření	1. měř.	Ø 2.–4. měření
1	A	207	138,1	137,2	148,3	146,3	-6,9	-6,2
	B	202	141,0	133,0	145,8	142,5	-3,3	-6,7
2	A	219	171,4	167,3	143,5	144,4	19,5	15,8
	B	222	164,4	162,1	161,1	162,2	2,0	-0,1
3	A	187	107,1	107,4	111,1	109,7	-3,6	-2,1
	B	184	117,9	115,6	121,0	120,3	-2,6	-3,9
4	A	180	101,1	98,5	87,0	86,5	16,2	13,8
	B	180	105,5	105,1	97,8	97,1	7,8	8,2
5	A	175	96,5	94,9	101,9	98,8	-5,3	-4,0
	B	177	98,4	95,8	103,2	100,7	-4,7	-4,8
6	A	171	102,3	90,7	99,5	96,7	2,9	-6,2
	B	168	102,0	90,7	94,7	93,5	7,7	-3,0
						průměr	2,5	0,1

Tab. 17

Průměrný rozdíl hodnot intenzity zbytkového magnetického pole o velikosti 2,5 % u první magnetizace respektive 0,1% u průměru 2-4 magnetizace ukazuje, že žíhání nemělo na magnetické vlastnosti GJS – 550.

3.4 Určení vzorců pro nedestruktivní měření tvrdosti:

Z naměřených hodnot jsem vypočetl hodnoty pro lineární vzorec

$$HB = M \times B + A$$

kde  $M$  ... naměřená magnetizace

$A, B$  ... zjištěné konstanty

s korelací  $K$

Oxidický povrch:

B	0,67
A	108
K	0,96

$$HB = M \times 0,67 + 108 \quad (42)$$

Míra přesnosti K = 96%

Obroušený povrch:

B	0,68
A	109
K	0,93

$$HB = M \times 0,68 + 109 \quad (43)$$

Míra přesnosti K = 93%

Stanovením vzorců pro lineární závislost  $HB = f(M)$  s vysokou mírou K (96 respektive 93%) potvrdilo zjištění předešlé kapitoly (3.3), že TZ nemělo vliv na magnetické vlastnosti litiny GJL – 550.

## **11 Diskuze výsledků**

Jak prokázala měření na trubkových vzorcích (kapitola 1) dochází po tepelném zpracování, tedy vlivem oxidických vrstev, k nárůstu intenzity zbytkového magnetického pole (IZMP) a to při nízkém stupni magnetizace (M2) v podstatě téměř ihned nebo již po krátké výdrži (10 minut) na teplotě při vyšší intenzitě magnetizace (M6).

Určením tlouštěk oxidačních vrstev pomocí metalografických výbrusů jsem zjistil, že je lze určit pokud je dané místo měřeno při malém stupni magnetizace (V konkrétním případě M2.), kdy je ovlivněna převážně povrchová vrstva. Nevýhodou je však strmost křivky a tedy velký rozdíl  $\Delta L$  při malé změně  $\Delta M$ , což je dáno rychlou tvorbou oxidů.

Porovnání zoxidovaného (šachtová pec) a otryskávaného povrchu na hřídelích (kapitola 2.1.3) tento nárůst magnetizace jen potvrzuje a v průměru činí 19,3 % u prvního měření respektive 3,7% u  $\varnothing$  2.-4. měření na totožném místě. U povrchu, kde k oxidaci dík ochranným atmosféram (C0<sub>2</sub> při kalení a N<sub>2</sub> při popuštění) bylo zabráněno (DEGUSSA) došlo k nárůstu o 12,7% u 1. měření a k poklesu o 3,8% u  $\varnothing$  2.-4. měření na stejném místě.

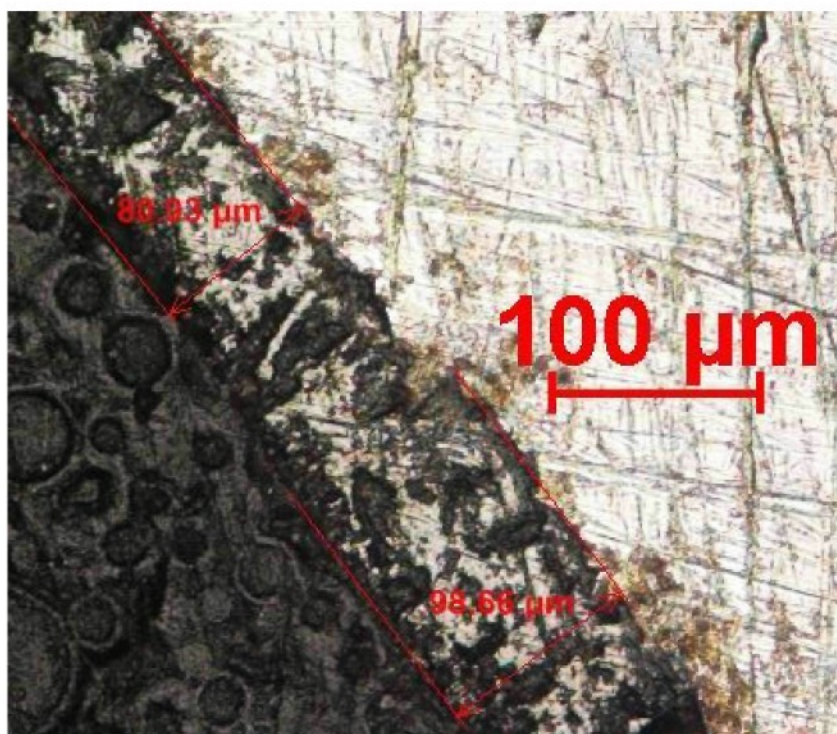
Nárůst intenzity zbytkového magnetického pole i u povrch, který byl chráněn proti oxidaci při tepelném zpracování je zapříčiněn vystavením výrobků atmosféře při přechodu z kalicí do popouštěcí pece. Rozdíl mezi povrchy bez a s ochrannými atmosférami by byl větší, ale při manipulaci s hřidelemi zakalenými v šachtové peci dochází k samovolnému odpadávání části vrstvy okuji.

Vzorce pro nedestruktivní určování tvrdosti u hřidelů (kapitola 2.1.4) pomocí přístroje DOMENA B2 nelze použít, neboť nejvyšší dosažená míra korelace 75,5% je v místě čela, shodou okolností bylo dosaženo stejně přesnosti u M4 i M6, toto místo se však při výpadku jednoho topného okruhu

ukázalo jako velmi nepřesné (viz příloha 4) a tedy ani při zlepšení přesnosti nedestruktivního zkoušení by jej nebylo možné doporučit pro uvedení do praxe. Příčinou selhání této metody je zřejmě přítomnost legur, zejména chrómu. Svůj vliv zajisté může mít i rozdílná tloušťka oxidů (obr. 22), jelikož se však nepovedlo stanovit vzorce ani při tryskaném povrch, lze předpokládat, že přísada Cr má na IZMP majoritní vliv.

Řešením by mohlo být v použití demagnetizačního pulzu o slabší intenzitě, čímž by měla být dosažena jednoznačná závislost  $M$  na teplotě popuštění oceli, což však výše zmíněný přístroj neumožňuje.

Porovnávání hodnot změn intenzit zbytkového magnetického pole popuštěných u držáků brzd z GJS – 550 (kapitola 3.3) žádné výrazné změny neprokázalo (2,5% u prvního impulzu a 0,1% u průměru dalších tří). Lze tedy vyvzovat, že při TZ zpracování nebylo dosaženo teploty, kdy dochází k prudkému nárůstu tvorby oxidů a které se obvykle u ocelí a litin pohybuje kolem  $600^{\circ}\text{C}$ .



Obr. 22 – 11 353 - 60 min. – 200x nelept.

Stanovené vzorce pro nedestruktivní měření tvrdosti (kapitola 3.4) HB = 0,67M + 108 pro oxidický povrchy a HB = 0,68M + 109 pro povrch broušený mají velkou míru přesnosti 96/93%.

## **12 Závěr**

Provedená měření jednoznačně prokázala nárůst intenzity změny magnetického pole u zušlechtěných ocelí, u litiny, která byly žíhána, nebyl tento nárůst výraznějšího rázu.

Stanovit spolehlivé vzorce pro nedestruktivní měření tvrdosti zušlechtěných hřidelů z materiálu 41CrS4 se pomocí přístroje DOMENA B2 nepodařilo, v tomto ohledu by mohl být úspěšnější nově vyvíjený strukturometr DOMENA II – PROMAG.

Většího úspěchu při stanovování vzorců bylo dosaženo u ojnic z materiálu 13 240, kde bylo dosaženo přesnosti 69 – 73 % i při nízkém rozptylu hodnot tvrdosti (28HB). Při rozšíření tohoto rozmezí lze očekávat i zlepšení přesnosti výsledků.

Vzorce stanovené pro měření tvrdosti litiny GJL - 550 vyžíhané na měkkoo pomocí strukturometrů DOMENA 2, lze použít v praxi, magnetická strukturoskopie je tedy u litin použitelná i při žíhání do 700°C.

## **Použitá literatura:**

- (1) Impulzivní magnetická kontrola struktury výrobků z oceli – Břetislav Skrbek - TU Liberec
- (2) Kreidl, M., Šmíd, R. Technická diagnostika. BEN – technická literatura Praha 2006, ISBN 80-7300-158-6
- (3) Doc. Ing. Rudolf Kremer, CSc., Ing. Karel Obroučka, CSc.; Ohřev kovů – STNL Praha 1974
- (4) Grus Milan; Vztah strukturně-mechanických a magnetických vlastností vybraných ocelí.
- (5) Doc. Ing. Břetislav Skrbek, Csc., Ing. Vladimír Nosek; Lokální magnetická strukturoskopie – vliv kvality povrchu na výsledku
- (6) Netáhlo, P. ; Měření metodou magnetického bodového pólu na tenkých stěnách ocelí a litin
- (7) Predikce mechanických vlastností materiálů na základě strukturních charakteristik; Sborník přednášek ze VII vědecké konference; MS VTS a DI OSD; ISBN 80-02-0140 1-4
- (8) Ing. Kreibich, CSC., RNDr. Karel Hoch; Koroze a technologie povrchových úprav; ČVUT Praha; ISBN 80-01-00476-7

## **Seznam příloh:**

- 1) Tvrdoštvzorků 11 353 a 15020
- 2) Materiálové listy
- 3) Hodnoty hřídelů
- 4) Hodnoty měkkého hřídele
- 5) Hodnoty ojnic
- 6) Hodnoty držáků brzd
- 7) Metalografické výbrusy

## **Seznam příloh**

1) Tvrností vzorků 11 353 a 15020

2) Materiálové listy

3) Hodnoty hřidelů

4) Hodnoty měkkého hřidele

5) Hodnoty ojnic

6) Hodnoty držáků brzd

7) Metalografické výbrusy

## **1) Tvrdošti trubkových vzorků 11 353 a 15020**

11 353

čas [min]	1	2	3	$\bar{\phi}$
0	136	135	138	136
10	140	135	138	138
30	139	128	135	134
45	137	129	133	133
60	130	138	137	135

15 020

čas [min]	1	2	3	$\bar{\phi}$
0	155	146	164	155
10	148	148	153	150
30	154	157	157	156
45	154	162	152	156
60	152	160	154	155

## 2) Materiálové listy

**11 353**

<b>ČSN 41 1353</b>	<b>Nelegovaná konstrukční ocel</b>			<b>OCEL</b>	
<b>STN 41 1353</b>	<b>na bezešvé trubky</b>			<b>11 353</b>	
<b>Chemické složení [hm. %]</b>					
C	P	S	P+S		
max 0,18	max 0,050	max 0,050	max 0,090		
<b>Polotovary</b>					
[1] bezešvé trubky tvářené za tepla					
[2] přesné bezešvé trubky tvářené za studena					
<b>Mechanické vlastnosti</b>					
Polotovar	[1]				
Rozměr t [mm]	≤12	12–25	25–36	≤12      12–15      25–36	
Stav	.0		.1		
Mez kluzu R <sub>EH</sub> [MPa] min	245	235	226	235      226      216	
Mez pevnosti R <sub>m</sub> [MPa]	min 343			343–441	
Tažnost A <sub>s</sub> [%] min	24			25	
Tvrdost HB max	–			135	
Modul pružnosti E [GPa]	206				
Polotovar	[2]				
Rozměr t [mm]	≤10		≤10		
Stav	.0		.1		
Mez kluzu R <sub>EH</sub> [MPa] min	0,8 · R <sub>m</sub>		226		
Mez pevnosti R <sub>m</sub> [MPa]	min 392			343–441	
Tažnost A <sub>s</sub> [%] min	5			25	
Tvrdost HB max	–			135	
Mez kluzu R <sub>p</sub> 0,2 [MPa] min za zvýšených teplot	100 °C 186		200 °C 167	300 °C 137	
<b>Fyzikální vlastnosti</b>					
Hustota ρ [kg · m <sup>-3</sup> ]	Měrná tepelná kapacita c <sub>p</sub> [J · kg <sup>-1</sup> · K <sup>-1</sup> ]	Tepelní součinitel rozařnosti α [K <sup>-1</sup> ]	Tepelná vodivost λ <sub>i</sub> [W · m <sup>-1</sup> · K <sup>-1</sup> ]	Konduktivita λ <sub>e</sub> [MS · m <sup>-1</sup> ]	
7 850	458	11,7 · 10 <sup>6</sup>	52	5,9	
<b>Technologické údaje</b>					
TEPELNÉ ZPRACOVÁNÍ normalizační žihání      900–930 °C      ochlazovat na vzduchu					

<b>SVARITELNOST</b>					
podle ČSN 05 1310 při tloušťce stěny do 25 mm – zaručená					nad 25 mm – zaručená podmíněná (doporučen předehřev 150–200 °C)
doporučené přídavné materiály pro svařování:					
plamenem ručně G 42 G 44					
el. obloukem ručně E 44.71 E 44.72 E 44.83					
el. obloukem poloautomatem v CO <sub>2</sub> P 44.23 C					
<b>OBROBITELNOST</b>		soustružení, hoblování		frézování, vrtání	
stav .0, .1		16b		15b	
<b>TECHNOLOGICKÉ ZKOUŠKY</b>					
zkouška rozšířováním (vrcholový úhel 45°) podle ČSN 42 0415.5					
d/D	0,9	0,8	0,7	0,6	0,5
Du-D D · 100 [%]	10	12	14	16	20

$$\begin{aligned} & \text{zkouška smáčknutím} \\ & \text{podle ČSN 42 0415.4} \\ & \text{vzdálenost tlačních desek [mm]} \\ & H = \frac{1,09 D \cdot a}{0,09 \cdot D + a} \end{aligned}$$

### Použití

Jednoúčelová ocel k výrobě bezesvých trubek. Vhodná na trubkové konstrukce staticky namáhaných součástí a na potrubí. Nelze použít na nosné části konstrukcí podle ČSN 73 1401 a ČSN 73 6205.

### Ostatní vlastnosti

Druh oceli podle způsobu výroby	Barevné značení podle ČSN 42 0010	Třída odpadu podle ČSN 42 0030
uklidněná	žlutá – žlutá	002

### Porovnání se zahraničními materiály

ISO		EURO		Německo	
–	–	–	–	St35	DIN 2391/2 USI37 DIN 1626
Francie		Velká Británie		Rusko	
–	–	CFS3 360	BS 6323/4-82 BS 3602/1-87	10	GOST 8731-87
USA		Japonsko		Kanada	
1020	ASTM A519-82	STKM12A	JIS G3445-88	–	–
Itálie		Rakousko		Švédsko	
Fe360	UNI 8913-87	–	–	1233	SS 141233
Fe360	UNI 6403-86	–	–		
Fe360	UNI 7729-84	–	–		
Polsko		Maďarsko		Norsko	
R35	PN H84024-75	–	–	12111	NS 12111
Finsko		Švýcarsko		Španělsko	
–	–	–	–	–	–
Austrálie		Rumunsko		–	
1020	AS 1442-92	OLT35	STAS 8183-80	–	–

# 15 020

ČSN 41 5020 STN 41 5020		Žárupevná molybdenová ocel			OCEL 15 020	
Chemické složení [hm. %]						
C	Mn	Si	Mo	Al	P	S
0,12–0,20	0,50–0,80	0,15–0,37	0,25–0,35	max (0,015)	max 0,040	max 0,040
Polotovary						
[1] bezešvé trubky			[4] výkovky			
[2] přesné bezešvé trubky			[5] tyče			
[3] tlusté plechy						
Mechanické vlastnosti						
Polotovar	[1]	[2]		[3]		
Rozměr t [mm]	tl. stěny do 36	tl. stěny do 12,5	< 16	16–40	40–60	
Stav	.1	.1		.1		
Mez kluzu R <sub>e</sub> [MPa] min	270	285	275	265	265	
Mez pevnosti R <sub>m</sub> [MPa]	450–600	450–600		440–590		
Tažnost A <sub>s</sub> [%] min	podél 22	podél 22		napříč 24	napříč 23	
Vrubová houževnatost KCU 3 [J.cm <sup>-2</sup> ] min	podél 78 napříč 59	–		napříč 59		
Polotovar		[4]		[5]		
Rozměr t, d [mm]		< 250		< 40	> 40	
Stav	.5			.1		
Mez kluzu R <sub>e</sub> [MPa] min		250		256	246	
Mez pevnosti R <sub>m</sub> [MPa]		440–590		430–550		
Tažnost A <sub>s</sub> [%] min		podél 17		18		
Vrubová houževnatost KCU 3 [J.cm <sup>-2</sup> ] min		59		49		
Tvrdost HB	–			120–170		
Modul pružnosti E [GPa] za zvýšených teplot	20 °C 211	100 °C 204	200 °C 196	300 °C 186	400 °C 177	500 °C 164
Mez kluzu R <sub>e</sub> 0,2 [MPa] min za zvýšených teplot	200 °C 200	250 °C 235	300 °C 206	350 °C 186	400 °C 177	450 °C 167
Polotovar [1] [2]	255	235	206	186	177	167
Polotovar [3]	245	226	196	177	167	157
Polotovar [4] [5]	218	200	167	153	148	143
Fyzikální vlastnosti						
Teplota [°C]	20	100	200	300	400	500
Teplotní součinitel roztažnosti α [K <sup>-1</sup> ] · 10 <sup>-6</sup>	–	12,5	13,1	13,6	14,0	14,4
						14,7

## Odolnost proti degradačním procesům

### ODOLNOST PROTI TEČENÍ

Mez pevnosti při tečení v tahu  $R_{mT}$  [MPa] (střední hodnoty)

Teplota [°C]	460	480	500	520	540	550
$R_{mT}/10^4$	278	219	168	121	84	68
$R_{mT}/10^5$	204	149	103	67	(42)	(33)
$R_{mT}/2 \cdot 10^6$	184	131	87	55	(34)	-
$R_{mT}/2,5 \cdot 10^6$	179	125	82	52	(32)	-

### ODOLNOST PROTI KOROZI

zvýšená odolnost proti korozi v prostředí vodní páry

## Technologické údaje

### TEPELNÉ ZPRACOVÁNÍ

normalizační žhání	900–940 °C	ochlazovat na vzduchu
popouštění	600–650 °C	
žhání ke snížení prutí	580–630 °C	
teploty přeměn	$A_{C1} \sim 723$ °C	$A_{C3} \sim 840–880$ °C

### TVARITELNOST

teploty tváření	1 100–850 °C
-----------------	--------------

### SVAŘITELNOST

podle ČSN 05 1310 zaručená podmíněná	do tl. 25 mm bez předeřevu
	nad tl. 40 mm předeřev na 150–200 °C

doporučené přídavné materiály pro svařování

el. obloukem ručně E Mo - 2 B dle ČSN 05 5051, E Mo - 2 K dle ČSN 05 5052, E Mo - 4 B dle ČSN 05 5053

OBROBITELNOST	soustružení, hoblování	frézování, vrtání
stav .1 R <sub>m</sub> max = 560 MPa	15b	15b

### TECHNOLOGICKÉ ZKOUŠKY

zkouška lámavosti podle ČSN 42 0401

úhel ohybu  $\alpha = 180^\circ$        $\varnothing$  trnu D = 3a

zkouška smáčknutím podle ČSN 42 0415.4

vzdálenost tláčných desek

$$H = \frac{1,08 \cdot D \cdot a}{0,08 \cdot D + a}$$

## Použití

Žárupevná ocel, dobře tvárná za tepla i za studena, dobrě obrobitevná, se zvýšenou odolností proti korozi v prostředí vodní páry. Vhodná pro energetické a chemické zařízení do 530 °C.

## Ostatní vlastnosti

Druh oceli podle způsobu výroby	Barevné značení podle ČSN 42 0010	Třída odpadu podle ČSN 42 0030
martinská nebo kysliková konvertorová	bílá – žlutá – zelená	051

# 41CrS4

WNr. (číslo materiálu) 1.7039	Cr-S ocel k zušlechtování			OCEL Kurzname (značka) 41CrS4			
<b>Chemické složení [hm. %]</b>							
C	Si	Mn	P	S			
0,38–0,45	max 0,40	0,60–0,90	max 0,035	0,020–0,040			
<b>Normy DIN</b>							
DIN EN 10083/1-98 – oceli k zušlechtování							
DIN 1652/4-90 – oceli k zušlechtování							
<b>Mechanické vlastnosti</b>							
Rozměr t, d [mm]	d ≤ 16; t ≤ 8	d = 17–40; t = 9–20	d = 41–100; t = 21–60				
Stav	zušlechtěný						
Mez kluzu R <sub>th</sub> nebo R <sub>p</sub> 0,2 [MPa] min	800	660	560				
Mez pevnosti R <sub>m</sub> [MPa]	1 000–1 200	900–1 100	800–950				
Tažnost A [%] min	11	12	14				
Kontrakce Z [%] min	30	35	40				
Nárazová práce KV [J] min	30	35	35				
Rozměr t, d [mm]	–						
Stav	žáhaný na měkko						
Mez kluzu R <sub>th</sub> nebo R <sub>p</sub> 0,2 [MPa] min	–						
Mez pevnosti R <sub>m</sub> [MPa]	–						
Tažnost A [%] min	–						
Kontrakce Z [%] min	–						
Nárazová práce KV [J] min	–						
Tvrdost HB max	241						
<b>Fyzikální vlastnosti</b>							
Hustota ρ [kg . m <sup>-3</sup> ]	7 850						
<b>Technologické údaje</b>							
TEPELNÉ ZPRACOVÁNÍ							
normalizační žáhaní	840–880 °C	ochlazovat na vzduchu					
kalení*)	820–860 °C	min 30 minut na teplotě, ochlazovat v oleji nebo ve vodě					
popouštění	540–680 °C	min 60 minut na teplotě					
prokalitelnost Jominy 1,5	53–61 HRC	(u oceli se zúženým pásem rozptylu 53–58 HRC, resp. 56–61 HRC)					
<b>TVAŘITELNOST</b>							
teploty tváření	1 050–850 °C						
<b>OBROBITELNOST</b>							
ocel se zlepšenou obrobitevností							

## Použití

Součásti pro vozidla a motory, jako hřídele, nápravy, součásti řízení, vhodná pro seriovou výrobu třískovým obráběním.

## Ostatní vlastnosti

způsob výroby: volí výrobce

desoxidace: uklidněná

## Porovnání se zahraničními materiály

ISO		EURO		Česká republika	
41CrS4	ISO 683/1	41CrS4	EN 10083/1-91	41CrS4	ČSN EN 10083/1-91
<i>Francie</i>		<i>Velká Británie</i>		<i>Rusko</i>	
42C4 U	NFA35-553-87	41CrS4	BS EN 10083/1-91	—	—
42C4 U	NFA35-552-86				
41CrS4	NF EN 10083/1-91				
<i>USA</i>		<i>Japonsko</i>		<i>Kanada</i>	
—	—	—	—	—	—
<i>Itálie</i>		<i>Rakousko</i>		<i>Švédsko</i>	
41CrS4	UNI EN 10083/1-91	41CrS4	ÖNORM EN 10083/1-91	41CrS4	SS EN 10083/1-91
<i>Polsko</i>		<i>Maďarsko</i>		<i>Norsko</i>	
—	—	Cr3 E	MSZ 61	41CrS4	NS EN 10083/1-91
<i>Finsko</i>		<i>Švýcarsko</i>		<i>Španělsko</i>	
41CrS4	SFS EN 10083/1-91	41CrS4	EN 10083/1-91	41CrS4	UNE EN 10083/1-91
<i>Austrálie</i>		<i>Belgie</i>		<i>Bulharsko</i>	
—	—	41CrS4	NBN EN 10083/1-91	—	—
<i>Brazilie</i>		<i>Čína</i>		<i>Jugoslávie</i>	
—	—	—	—	Č.4181	JUS C.B9.021-89
<i>Rumunsko</i>		—		—	
40Cr10S	STAS 791-88	—		—	
41CrS4	STAS EN 10083/1-91	—		—	

## Poznámky

<sup>1)</sup> teploty při spodní hranici přichází v úvahu pro kalení do vody, při horní hranici pro kalení do oleje

# 13 240

**ČSN 41 3240**

**OCEL**

**STN 41 3240**

Mn-Si ocel k zušlechtlování

**13 240**

## Chemické složení [hm. %]

C	Mn	Si	P	S
0,33–0,41	1,10–1,40	1,10–1,40	max 0,035	max 0,035

## Polotovary

- |                                      |                              |
|--------------------------------------|------------------------------|
| [1] předvalky                        | [5] pásky válcované za tepla |
| [2] tyče válcované za tepla          | [6] výkovky                  |
| [3] tenké plechy válcované za tepla  | [7] dráty tažené za studena  |
| [4] tlusté plechy válcované za tepla | [8] tyče tažené za studena   |

## Mechanické vlastnosti

Polotovar	[2] [6] [7] [8]	[2]	[2] [6]	[3] [4]
Rozměr t, d [mm]	–	40 <sup>1)</sup>	25 <sup>1)</sup>	1,0–10,0
Stav	.3	.6	.7	.3
Mez kluzu R <sub>e</sub> nebo R <sub>p0,2</sub> [MPa] min	–	540	635	–
Mez pevnosti R <sub>m</sub> [MPa]	–	780–930	880–1030	max 760
Tažnost A <sub>5</sub> [%] min	–	14	13	–
Kontrakce Z [%] min	–	45	45	–
Vrubová houževnatost KCU 3 [J.cm <sup>-2</sup> ]	–	49	39	–
Tvrdost HB	max 217	239–285	269–317	max 217
Modul pružnosti E [GPa]		206		
Modul pružnosti ve smyku G [GPa]		79		

Polotovar	[6]	[2]			
Rozměr t, d [mm]	≤ 300	≤ 16	16–40	40–100	100–240
Stav	.6		.6		
Mez kluzu R <sub>e</sub> nebo R <sub>p0,2</sub> [MPa] min	440	785	635	540	440
Mez pevnosti R <sub>m</sub> [MPa]	690–830	980–1180	880–1030	780–930	690–830
Tažnost A <sub>5</sub> [%] podél min	13	11	12	14	15
Kontrakce Z [%] min	–	35	40	45	50
Vrubová houževnatost KCU 3 [J.cm <sup>-2</sup> ] min	podél 24,5		–		
Tvrdost HB	208–253		–		
Teplota [°C]	20	100	200	250	300
Mez kluzu R <sub>p0,2</sub> [MPa]	635	610	525	485	430
za zvýšených teplot	540	515	445	415	370
				315	190

## Fyzikální vlastnosti

Hustota $\rho$ [kg.m <sup>-3</sup> ]	Měrná tepelná kapacita $c_p$ [J.kg <sup>-1</sup> .K <sup>-1</sup> ]	Teplotní součinitel roztážnosti $\alpha$ [K <sup>-1</sup> ]	Tepelná vodivost $\lambda_e$ [W.m <sup>-1</sup> .K <sup>-1</sup> ]	Rezistivita $\rho$ [ $\Omega \cdot m$ ]
7 650	–	11,8.10 <sup>-5</sup>	42	230.10 <sup>-9</sup>

Odolnost proti degradačním procesům																		
ODOLNOST PROTI UNAVĚ																		
Mez únavy při napětí:																		
$R_u$ [MPa]	střídavém			míjivém			v ohybu za rotaci (zkušební tyč)											
	ohyb	tah-tlak	krut	ohyb	tah	krut	hladká	vrub 2 mm	vrtání 2 mm									
880	420	335	250	640	560	380	410	230	260									
780	360	300	220	575	500	335	375	200	235									
Technologické údaje																		
TEPELNÉ ZPRACOVÁNÍ																		
normalizační žihání	850–900°C			ochlazovat na vzduchu														
žihání na měkko	640–720°C			ochlazovat v peci														
kalení	820–850°C			ochlazovat ve vodě														
	840–890°C			ochlazovat v oleji														
popuštění	530–680°C			ochlazovat ve vodě, tvarově														
	530–670°C			složité součásti v oleji														
teploty přeměn	$A_{\text{et}} \sim 740^\circ\text{C}$			ochlazovat na vzduchu														
tvrdost povrchově kaledené vrstvy	$D \leq 40 \text{ mm}$			$A_{\text{sr}} \sim 810^\circ\text{C}$														
	$41 < D \leq 100 \text{ mm}$			$M_s \sim 345^\circ\text{C}$														
optimální průměr zušlechtění	50mm (voda)			23 mm (olej)														
nejnižší doporučená teplota použití ( $R_u = 930 \text{ MPa}$ ) při namáhání – statickém																		
– dynamickém $-50^\circ\text{C}$ $-30^\circ\text{C}$ (pro KCU2 min 34 J/cm <sup>2</sup> )																		
TVARITELNOST																		
třída tvářitelnosti za tepla 1 teploty tváření 1 150–800°C																		
pomalou ochlazovat																		
OBROBITELNOST		soustružení		frézování		vrácení												
stav .3	$\text{HB} \leq 217$	11b		11b		11b												
stav .6	$\text{HB} \leq 253$	10b		10b		10b												
stav .6	$\text{HB} \leq 285$	10b		9b		9b												
stav .6	$\text{HB} \leq 359$	8b		8b		8b												
TECHNOLOGICKÉ ZKOUŠKY																		
zkouška lámavosti podle ČSN 420401																		
pro polotovary [3] [4] úhel ohybu $\alpha = 90^\circ$ $\bigcirc$ trnu = 3a																		
Použití																		
vhodná na středně namáhané strojní součásti a části silničních vozidel zvláště odolné proti opotřebení, např. hřidele, nápravy, čepy kol, ojniče, páky, třmeny, šroubová vleťena lisů, šrouby.																		
Ostatní vlastnosti																		
Druh oceli podle způsobu výroby	Barevné značení podle ČSN 42 0010				Třída odpadu podle ČSN 42 0030													
–	fialová–žlutá–červená				001													

# 15 142

ČSN 41 5142	Cr-Mo ocel k zušlechtování a povrchovému kalení				OCEL		
STN 41 5142					15 142		
<b>Chemické složení [hm. %]</b>							
C	Mn	Si	Cr	Ni	Mo	P	S
0,38–0,45	0,50–0,80	0,17–0,37	0,90–1,20	max 0,50	0,15–0,30	max 0,035	max 0,035
<b>Polotovary</b>							
[1] tyče válcované za tepla							
[2] výkovky							
<b>Mechanické vlastnosti</b>							
Polotovar	[1]						
Rozměr t, d [mm]	–	40 <sup>1)</sup>	≤ 16	16–40	40–100	100–160	
Stav	.3		.7				
Mez kluzu R <sub>e</sub> nebo R <sub>p</sub> 0,2 [MPa] min	–	765	883	765	637	559	
Mez pevnosti R <sub>m</sub> [MPa]	–	981–1 177	1 079–1 275	981–1 177	883–1 079	785–932	
Tažnost A <sub>s</sub> [%] min podél	–	11	10	11	12	13	
Kontrakce Z [%] min	–	45	40	45	50	55	
Vrubová houževnatost KCU 3 [J.cm <sup>2</sup> ] min	–	49		–			
Tvrdost HB	max 217	300–359	–	–	–	–	
Modul pružnosti E [GPa]			216				
Modul pružnosti ve smyku G [GPa]			83				
Polotovar	[2]						
Rozměr t, d [mm]	≤ 250	250–500		≤ 250			
Stav	.6		.7				
Mez kluzu R <sub>e</sub> nebo R <sub>p</sub> 0,2 [MPa] min	539	490		569			
Mez pevnosti R <sub>m</sub> [MPa] min	735	686		785			
Tažnost A <sub>s</sub> [%] min	podél 14 tang. 11	podél 15 tang. 12		podél 13 tang. 11			
Vrubová houževnatost KCU 3 [J.cm <sup>2</sup> ] min	podél 39,2 tang. 34,3	podél 39,2 tang. 29,4		podél 34,3 tang. 29,4			
Mez kluzu R <sub>p</sub> 0,2 [MPa] min při 300 °C	431	392		441			
	20 °C	100 °C	200 °C	250 °C	300 °C	350 °C	400 °C
Mez kluzu R <sub>p</sub> 0,2 [MPa] za zvýš. teplot	765	740	690	650	610	540	455
	560	535	490	460	430	395	355
<b>Fyzikální vlastnosti</b>							
Hustota ρ [kg.m <sup>-3</sup> ]	Měrná tepelná kapacita c <sub>p</sub> [J.kg <sup>-1</sup> .K <sup>-1</sup> ]	Tepelný součinitel rozařenosti α [K <sup>-1</sup> ]	Tepelná vodivost λ <sub>c</sub> [W.m <sup>-1</sup> .K <sup>-1</sup> ]	Rezistivita ρ [Ω.m]			
7 850	–	11,1.10 <sup>-6</sup>	42	190.10 <sup>-9</sup>			

## Odolnost proti degradačním procesům

### ODOLNOST PROTI ÚNAVĚ

Mez únavy [MPa]

R <sub>m</sub> [MPa]	při střídavém napětí			při míjivém napětí			v ohybu za rotaci (zkuš. tyč)		
	v ohybu	tah-tlak	v krutu	v ohybu	v tahu	v krutu	hladká	vrub 2 mm	vrtání 2 mm
1080	500	410	310	790	685	460	505	315	-
880	420	335	250	640	560	380	410	230	260
780	390	305	225	590	515	350	380	205	240

## Technologické údaje

### TEPELNÉ ZPRACOVÁNÍ

normalizační žihání	870-890 °C	ochlazovat na vzduchu	
kalení	840-880 °C	ochlazovat v oleji	
popoustění	540-680 °C	ochlazovat na vzduchu	
žihání na měkkoo	700-740 °C		
teploty přeměn	A <sub>c1</sub> ≈ 750 °C	A <sub>a3</sub> ≈ 780 °C	M <sub>s</sub> ≈ 330 °C
tvrdost povrchově kalené vrstvy pro optimální průměr pro zušlechtění	Ø≤ 40 mm 120 mm (voda)	56 ± 2 HRC	41-100 mm 90 mm (olej) 54 ± 2 HRC

### TVAŘITELNOST

teploty tváření	1 100-800 °C
-----------------	--------------

OBROBITELNOST	soustružení	frézování	vrtání
stav .3 HB ≤ 214	12b	12b	12b
stav zušl. HB ≤ 269	11b	11b	11b
stav zušl. HB ≤ 331	10b	10b	10b
stav zušl. HB ≤ 385	9b	8b	8b

### nejnižší doporučená teplota použití

při dynamickém namáhání R<sub>m</sub> = 880-1 030 MPa - 40 °C (pro KCU 2 [J.cm<sup>-2</sup>] min 44)

R<sub>m</sub> = 780-930 MPa - 60 °C (pro KCU 2 [J.cm<sup>-2</sup>] min 39)

při statickém namáhání R<sub>m</sub> = 780-930 MPa - 80 °C

## Použití

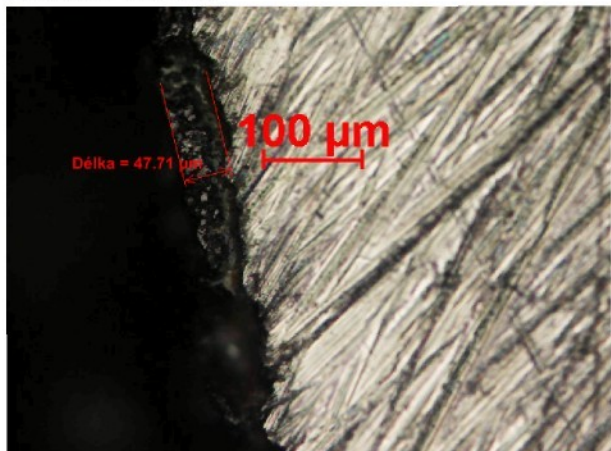
Vhodná pro povrchové kalení. Užívá se na velmi namáhané strojní součásti a součásti silničních motorových vozidel, kde se požaduje při vysoké pevnosti i vyšší houževnatost, zejména hřídele a spojovací součásti.

## Ostatní vlastnosti

Druh oceli podle způsobu výroby	Barevné značení podle ČSN 42 0010	Třída odpadu podle ČSN 42 0030
martinská nebo elektrocel	bílá-hnědá-oranžová	048

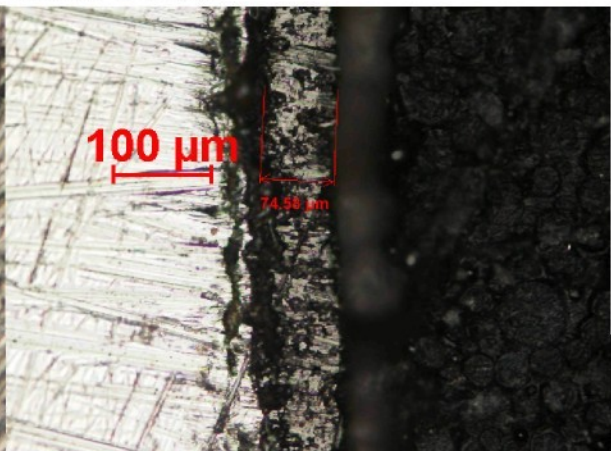
## 7) Metalografické výbrusy

11 353 - 10 min.



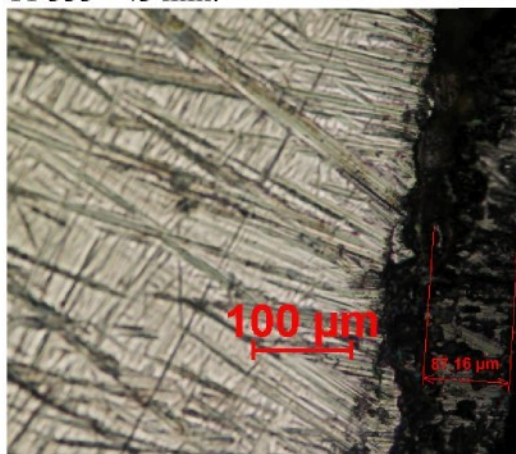
(200x, nelept.)

11 353 - 30 min.

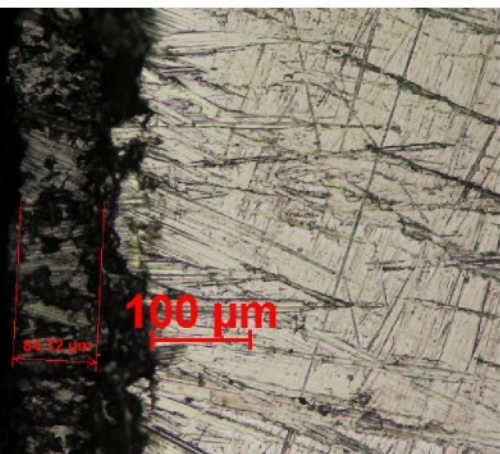


(200x, nelept.)

11 353 - 45 min.

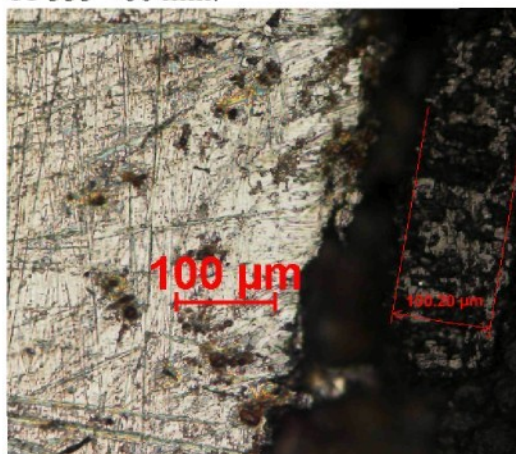


(200x, nelept.)

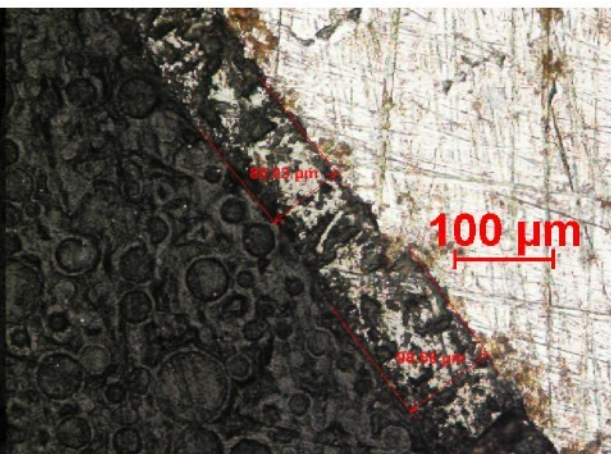


(200x, nelept.)

11 353 - 60 min.

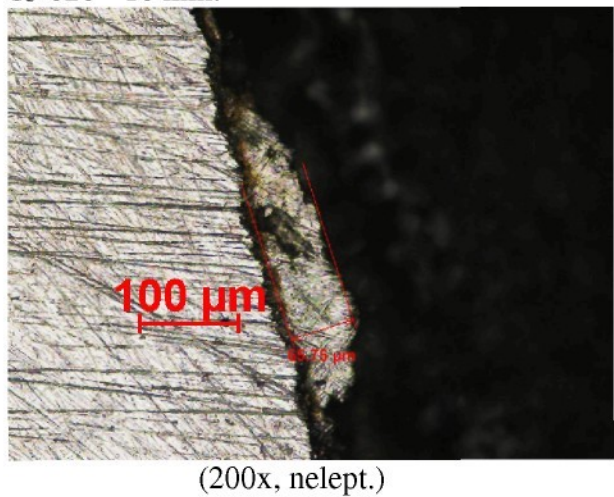


(200x, nelept.)



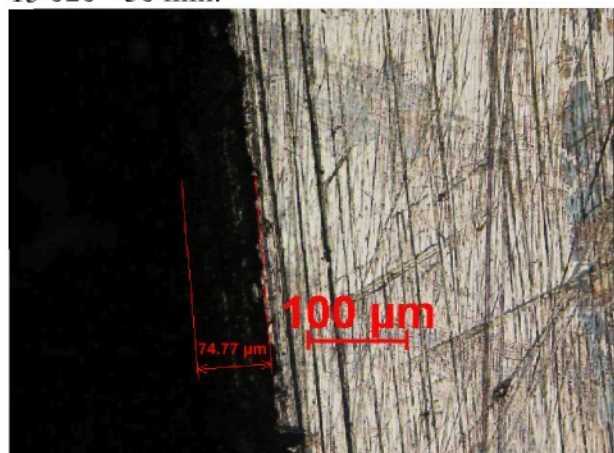
(200x, nelept.)

15 020 - 10 min.

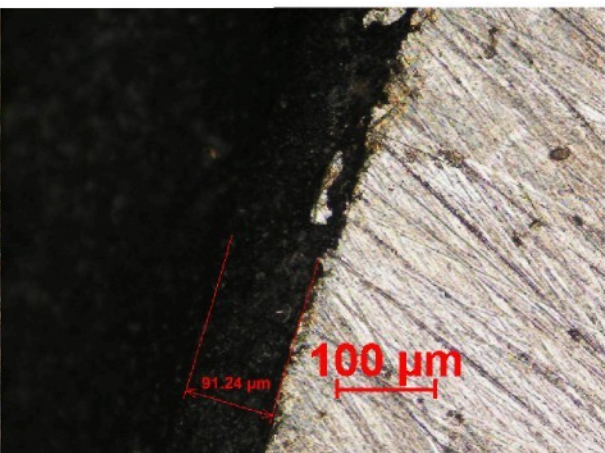


(200x, nelept.)

15 020 - 30 min.

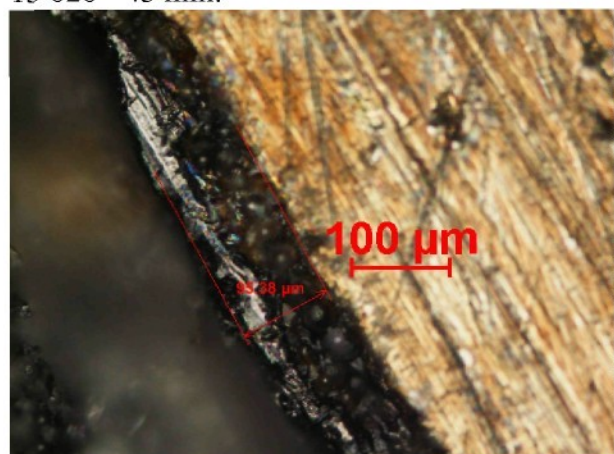


(200x, nelept.)



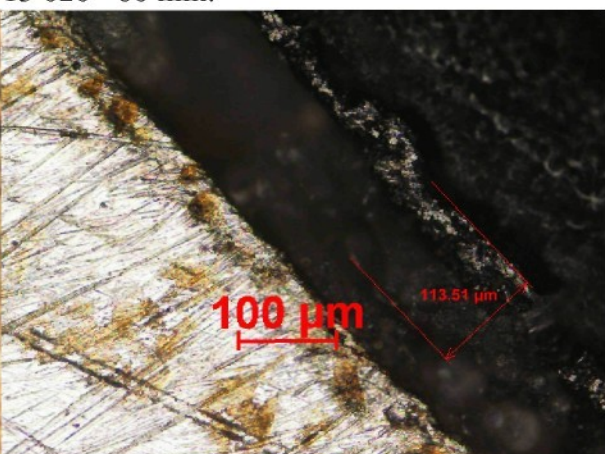
(200x, nelept.)

15 020 - 45 min.



(200x, nelept.)

15 020 - 60 min.



(200x, nelept.)